ФГБУ «Арктический и антарктический научно-исследовательский институт» Мировой центр данных по морскому льду

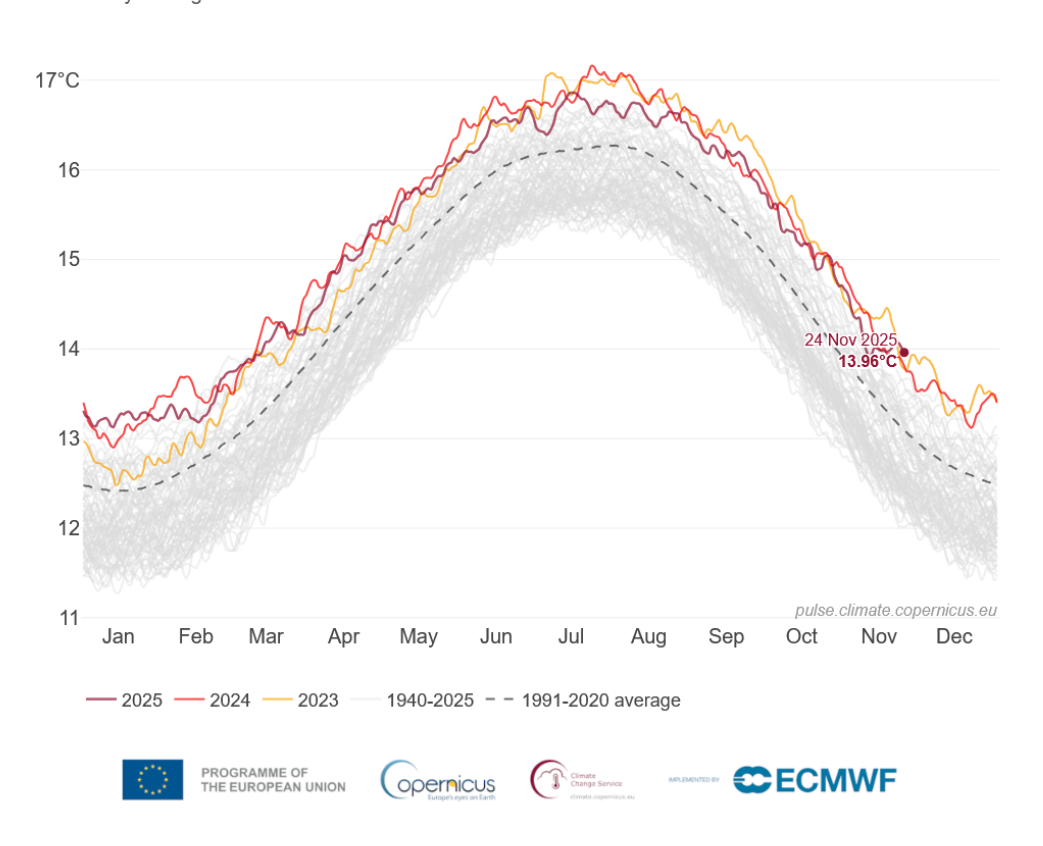


Информационные материалы по мониторингу морского ледяного покрова Арктики и Южного Океана на основе данных ледового картирования и пассивного микроволнового зондирования SSMR-SSM/I-SSMIS-AMSR₂

> 17.11.2025 – 25.11.2025 № 48(738)

Global surface air temperature

Daily average • Data: ERA5 • Credit: C3S/ECMWF



Санкт-Петербург 2025

тел. +7(812)337-3149, эл.почта: <u>vms@aari.aq</u> Адрес в сети Интернет: <u>http://wdc.aari.ru/datasets/doo42/</u>

Содержание

Северное Полушарие	3
Рисунок 1а – Обзорная ледовая карта СЛО (цветовая раскраска по общей сплоченности)	3
Рисунок 16 – Обзорная ледовая карта СЛО (цветовая раскраска по преобладающему возрасту)	4
Рисунок 1в - Оценка толщины льда на основе данных ИСЗ AMSR2	
Рисунок 1г – Положение кромки льда и зон разреженных и сплоченных льдов СЛО	7
Рисунок 1д – Обзорная ледовая карта СМП	8
Рисунок 2a — Ледовые условия за 24.01 - 28.01.2025. и аналогичные периоды 2007-2024 гг	10
Рисунок 26 – Поля распределения средневзвешенной толщины льда совместной модели морского льда	
Рисунок 2в – Аномалия температуры поверхности морского льда и океана (к периоду 1991-2020 гг.)	13
Рисунок 2г – Поле дрейфа морского льда Арктики за последнюю неделю	14
Рисунок 2д – Ежедневные оценки сезонного хода объема морского льда СЛО	
Рисунок 2е – Аномалии приземной температуры воздуха (2м) и осредненные вектора скорости ветра	16
Рисунок 2ж – Аномалии приземной суммы осадков за последнюю пентаду 2022-2025 гг.	
Таблица 1 - Медианные значения ледовитости для Северной полярной области	19
Таблица 2 – Экстремальные и средние значения ледовитости для Северной полярной области	20
Таблица 3 – Динамика изменения значений ледовитости для морей Северной полярной области	
Рисунок 3а – Ежедневные оценки сезонного хода ледовитости для Северной Полярной Области	22
Рисунок 36 – Ежедневные оценки сезонных изменений ледовитости для Северной Полярной Области	23
Южный океан	
Рисунок 5а – Ледовая карта Южного океана (цветовая окраска по общей сплоченности)	
Рисунок 56 – Ледовая карта Южного океана (цветовая окраска по возрасту)	
Рисунок 5в – Положение кромки льда и зон разреженных и сплоченных льдов Южного океана	
Таблица 4 – Линейные размеры крупных айсбергов Южного океана	
Рисунок 7а – Ежедневные оценки сезонного хода ледовитости Южного Океана	
Рисунок 76 – Ежедневные оценки сезонных изменений ледовитости для Южного океана	
Таблица 5 - Медианные значения ледовитости для Южного океана	
Таблица 6 – Экстремальные значения ледовитости для Южного океана и 3 меридиональных секторов	
Таблица 7 – Динамика изменения значений ледовитости для морей Южного океана	32
Рисунок 9 – Ежедневные сглаженные значения ледовитости (площади распространения морского льда)	
Арктики, Антарктики и Земли в целом	33
Рисунок 10 – Ежедневные сглаженные значения приведенной ледовитости (площади морского льда)	
Арктики, Антарктики и Земли в целом	
Рисунок 11 – Ежедневные сглаженные значения средней общей сплоченности Арктики и Антарктики	
Приложение 1 – Статистические значения ледовитостей по отдельным акваториям Северной Полярной Обл	асти
и Южного океана	
Таблица 8 – Средние, аномалии среднего и экстремальные значения ледовитостей для Северной и Южной	й
полярных областей и её отдельных акваторий	
Таблица 10 – Динамика изменения значений ледовитости по сравнению с предыдущей неделей для морей	Í
Северной полярной области и Южного океана	40
Характеристика исходного материала и методика расчетов	41
Список источников	46

Северное Полушарие

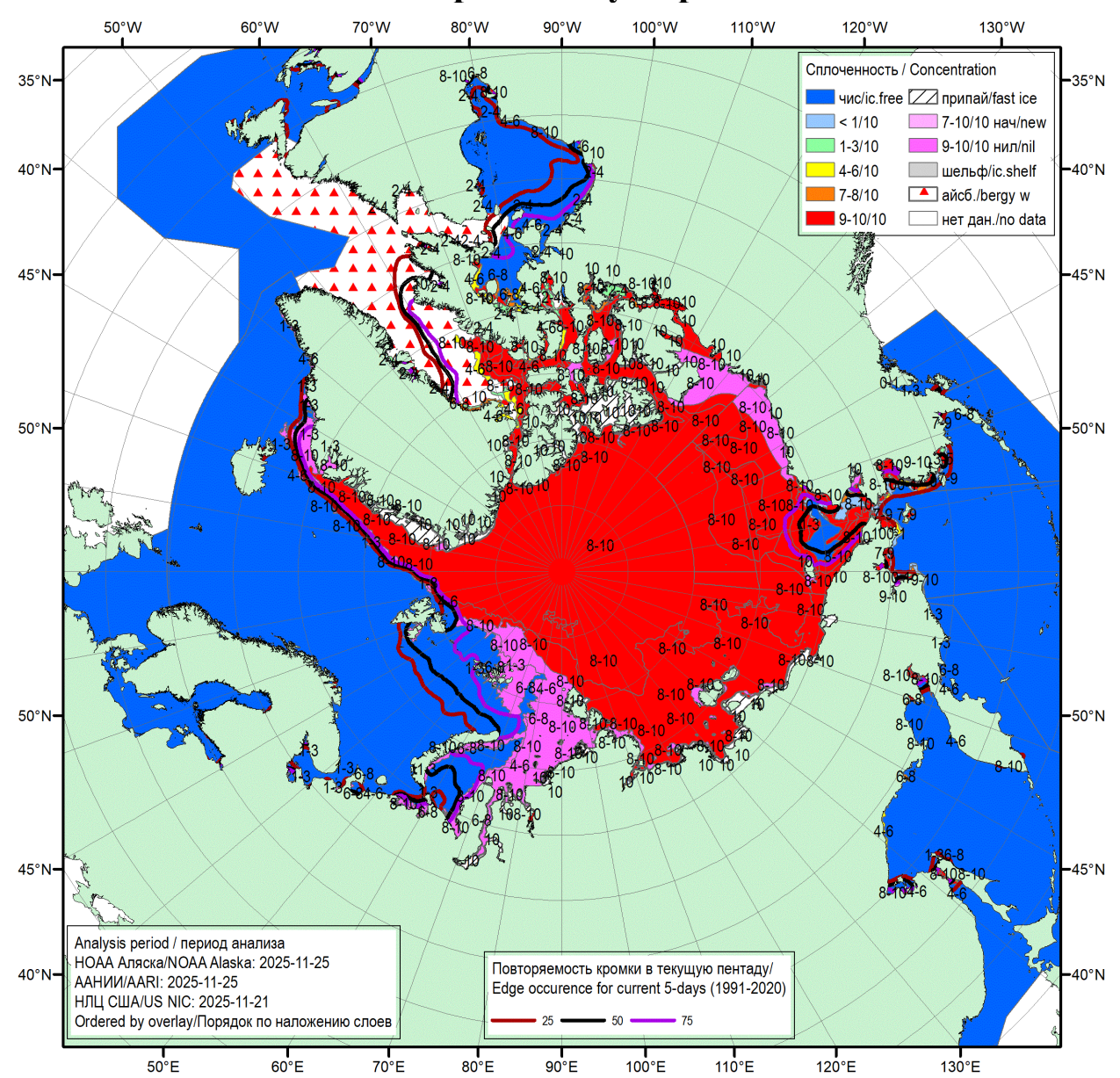


Рисунок 1а — Обзорная ледовая карта СЛО за 21.11.2025 — 25.11.2025 (цветовая раскраска по общей сплоченности) на основе ледового анализа НОАА Аляска, ААНИИ и Национального ледового центра США и повторяемость кромки за соответствующий 5-дневный период за 1991-2020 гг. по наблюдениям SSMR-SSM/I-SSMIS (алгоритм NASATEAM) [4, 10, 23, 17].

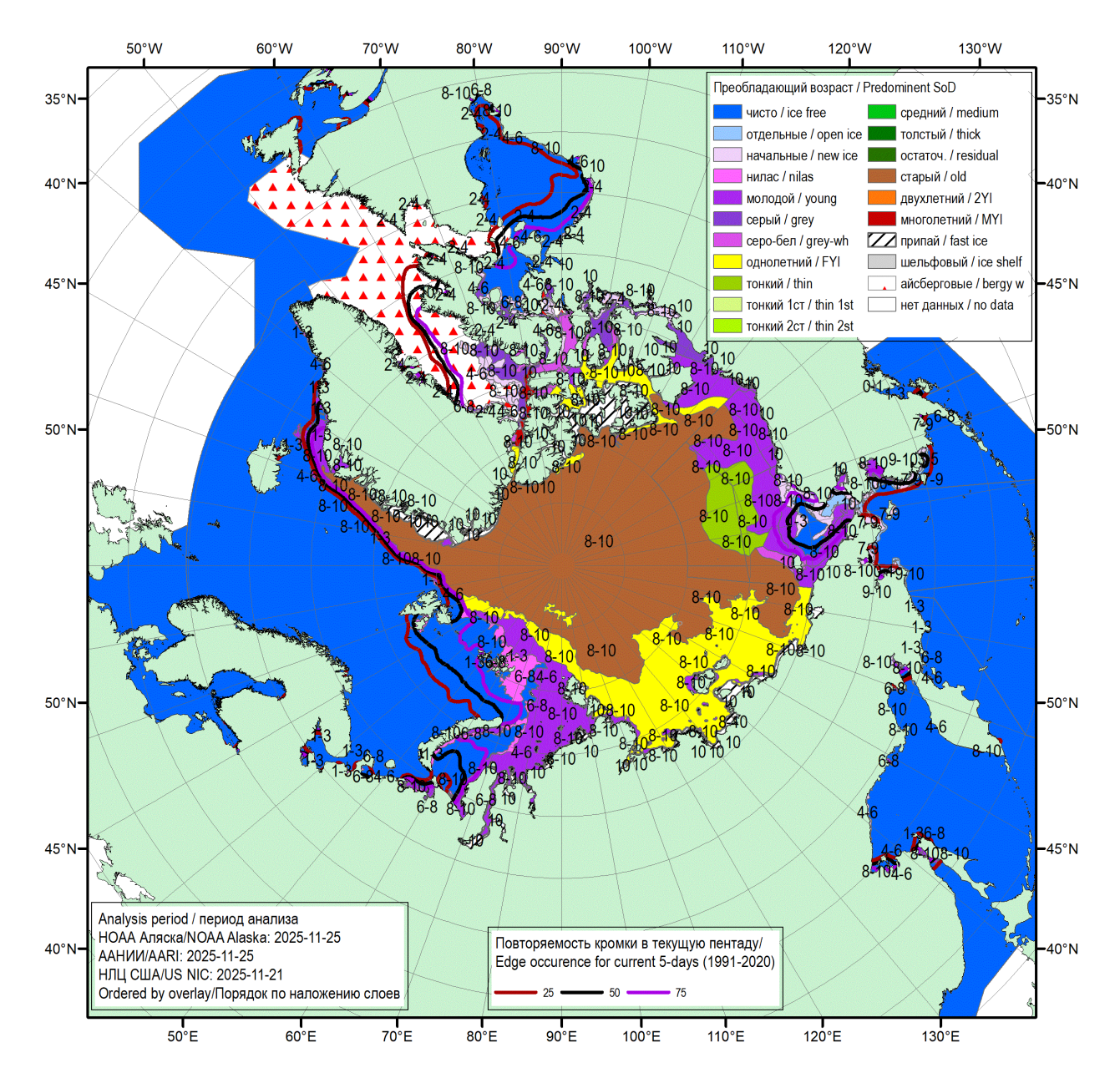


Рисунок 16 — Обзорная ледовая карта СЛО за 21.11.2025 — 25.11.2025 (цветовая раскраска по преобладающему возрасту) на основе ледового анализа НОАА Аляска, ААНИИ и Национального ледового центра США и повторяемость кромки за соответствующий 5-дневный период за 1991-2020 гг. по наблюдениям SSMR-SSM/I-SSMIS (алгоритм NASATEAM) [4, 10, 23, 17].

.

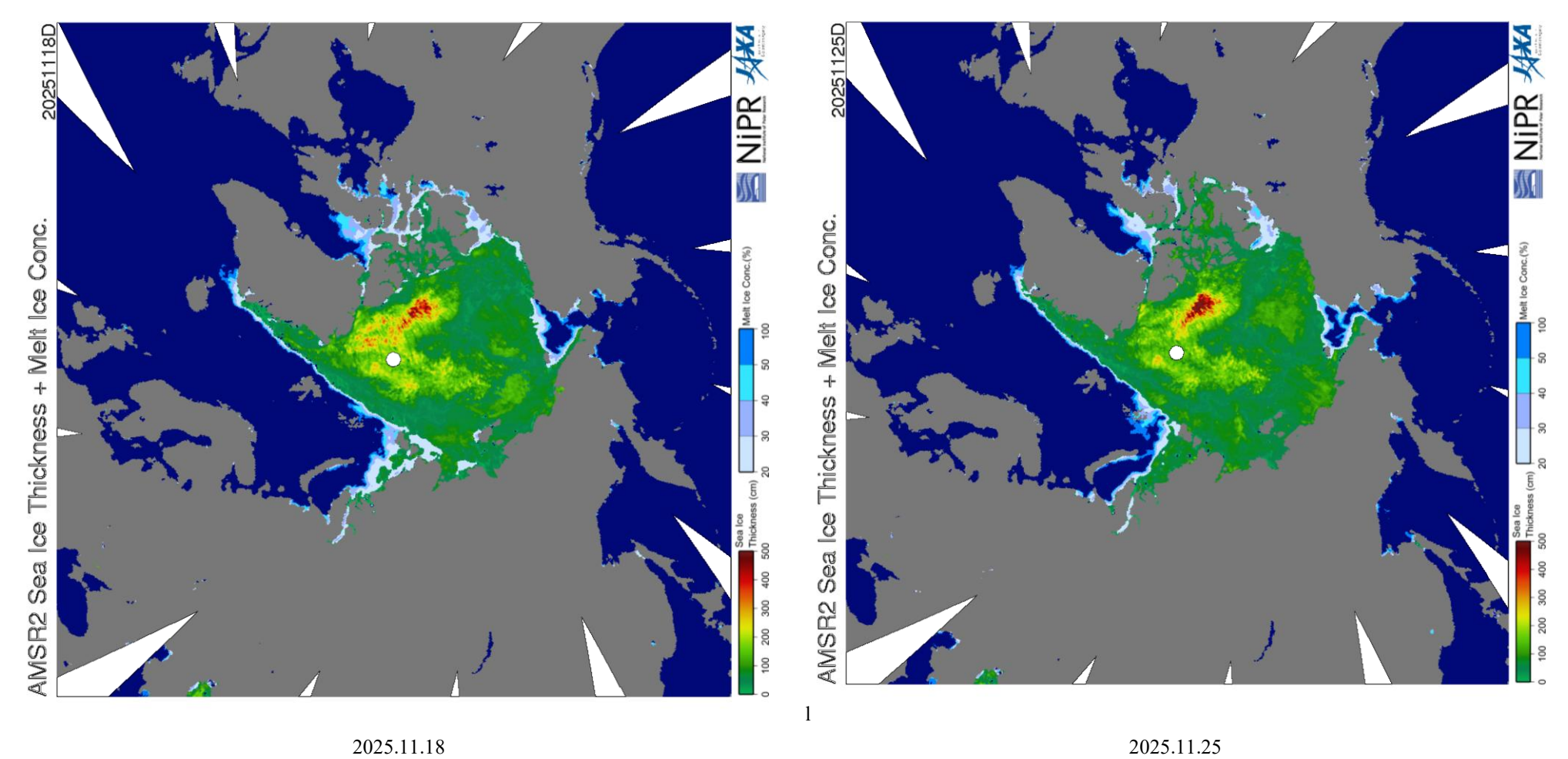


Рисунок 1в - Оценка толщины льда и степени разрушенности на основе данных пассивного микроволнового зондирования AMSR2 за текущий и предыдущий сроки [29].

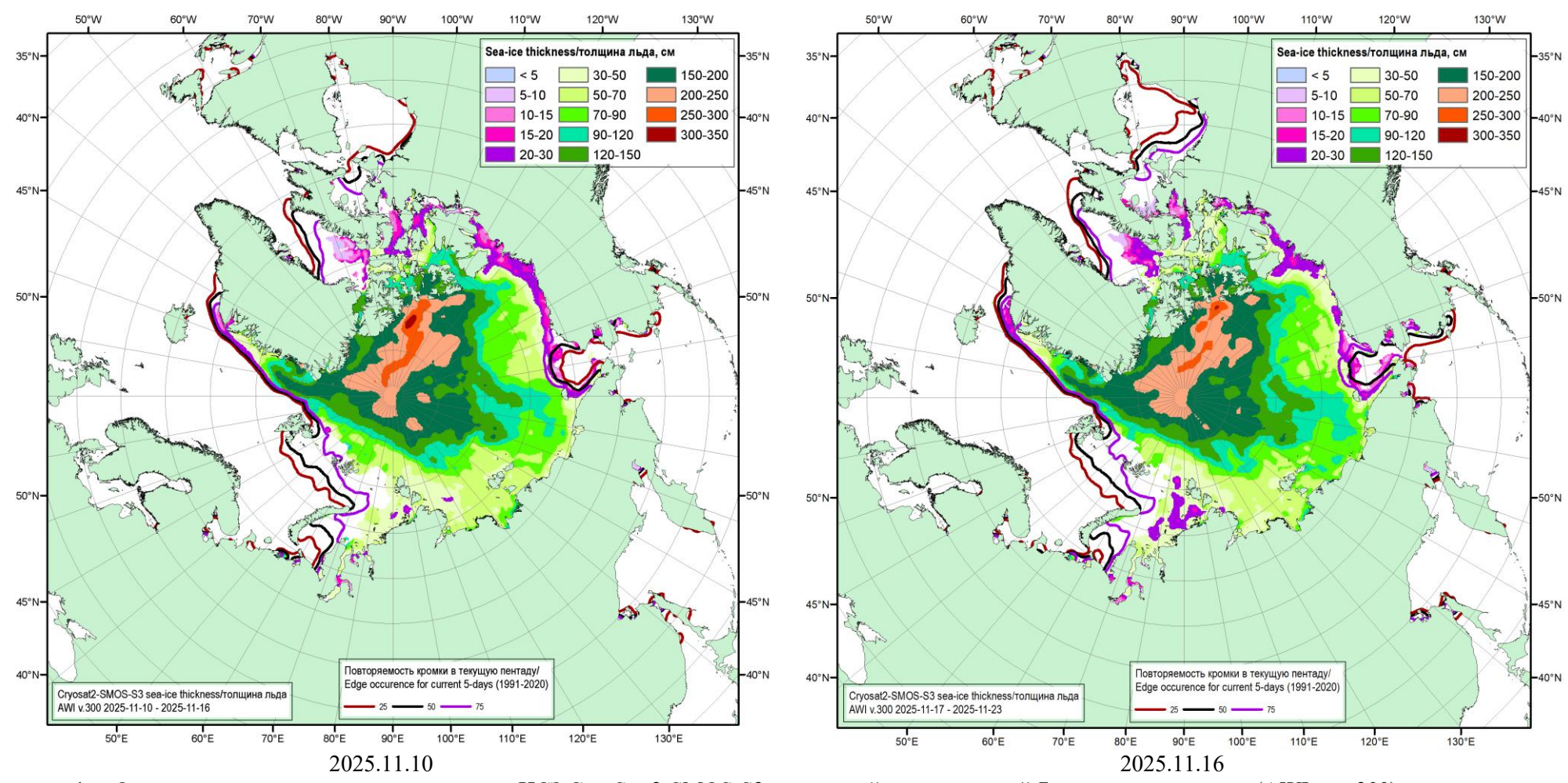


Рисунок 1г - Оценка толщины льда на основе данных ИСЗ CryoSat-2-SMOS-S3 за текущий и предыдущий 7-дневные интервалы (AWI, ver.300) и повторяемость кромки за соответствующие 5-дневные промежутки за период 1991-2020 гг. по наблюдениям SSMR-SSM/I-SSMIS (алгоритм NASATEAM).

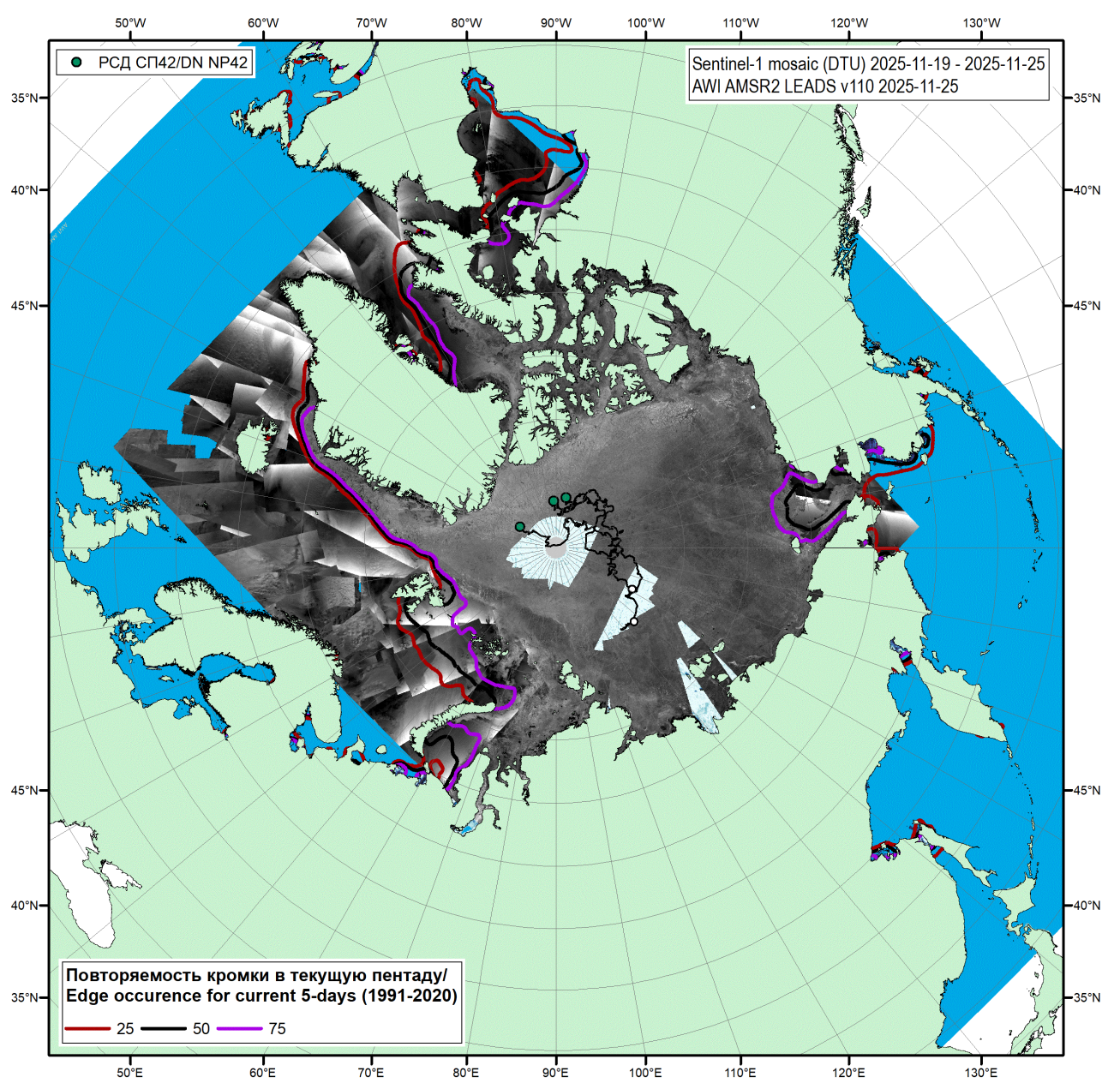


Рисунок 1д — Мозаика снимков Sentinel-1 (DTU) за 19.11.2025 — 25.11.2025, положение крупных полыней по данным AMSR2 за 25.11.2025 (AWI v110), повторяемость кромки за соответствующий 5-дневный период за 1991-2020 гг. по наблюдениям SSMR-SSM/I-SSMIS (алгоритм NASATEAM) и положение PCH СП-42 на 26.11.2025 г. 08:00MCK.

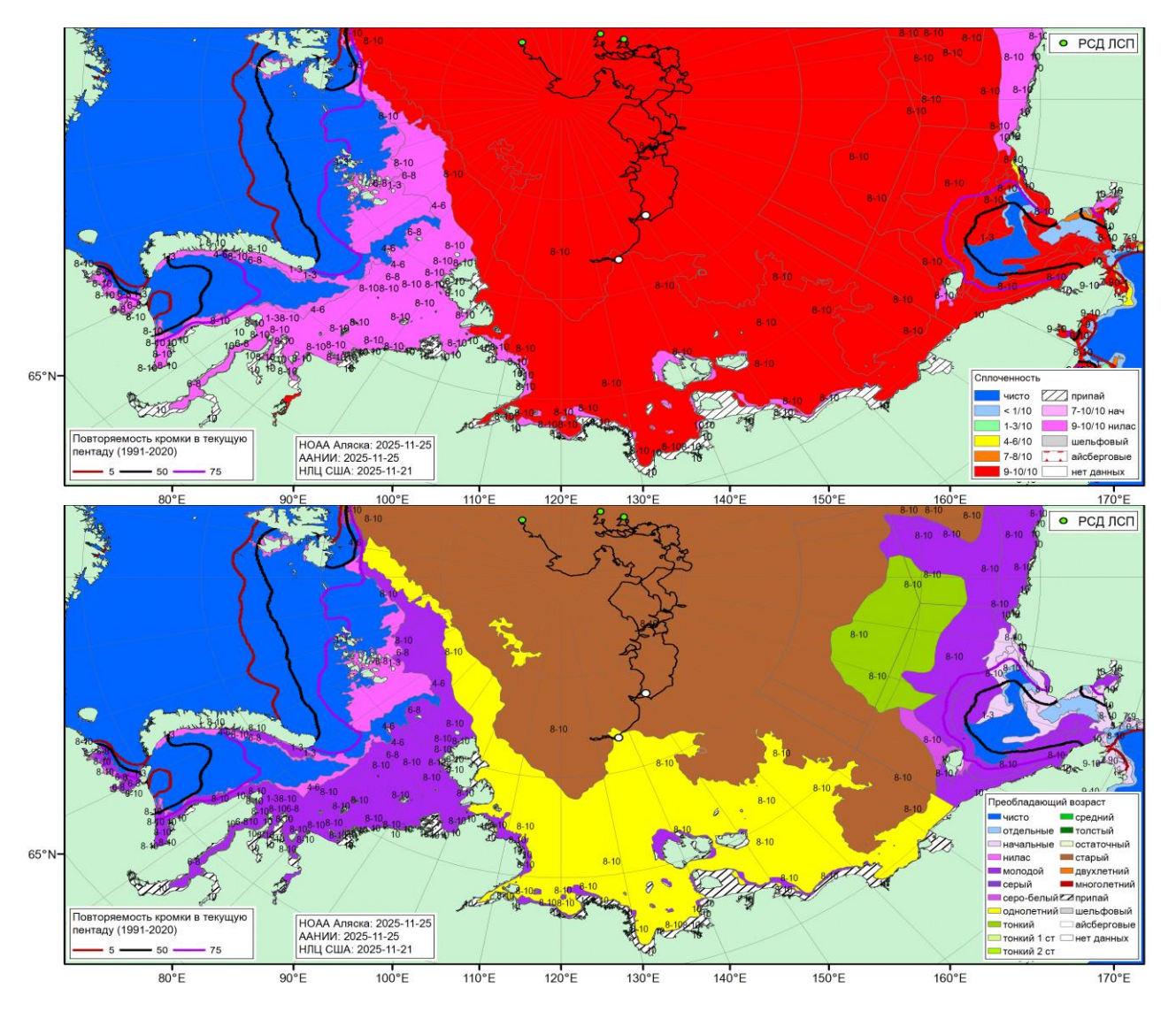


Рисунок 1e — Обзорная ледовая карта СМП за 25.11.2025 г. на основе ледового анализа НОАА Аляска, ААНИИ, повторяемость кромки за соответствующий 5-дневный период 1991-2020 гг. по наблюдениям SSMR-SSM/I-SSMIS (алгоритм NASATEAM) и положение РСН СП-42 на 26.11.2025 0800MCK [27, 28, 17].

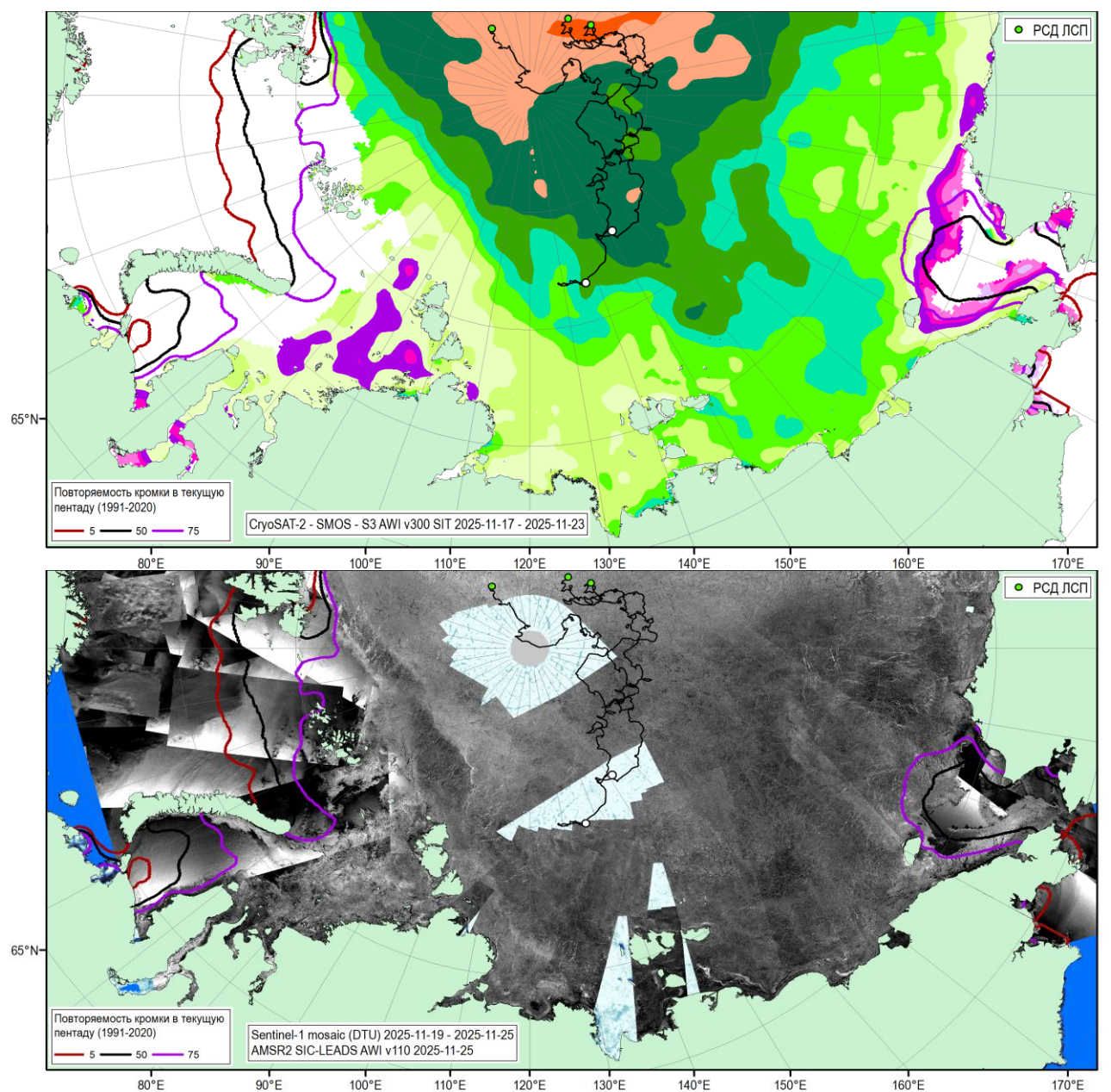


Рисунок 1ж - Оценка толщины льда на акватории СМП на основе данных ИСЗ CryoSat-2-SMOS-S3 за 17.11.2025-23.11.2025 (AWI, ver.300), мозаика радиолокационных снимком ИСЗ Sentinel-1AC за 19.11-25.11.2025 (DTU), оценка положения полыней на основе данных AMSR2 (AWI v110) за 25.11.2025, повторяемость кромки за соответствующие 5-дневные промежутки 1991-2020 гг. по наблюдениям SSMR-SSM/I-SSMIS (алгоритм NASATEAM) и положение PCH СП-42 на 08MCK 26.11.2025

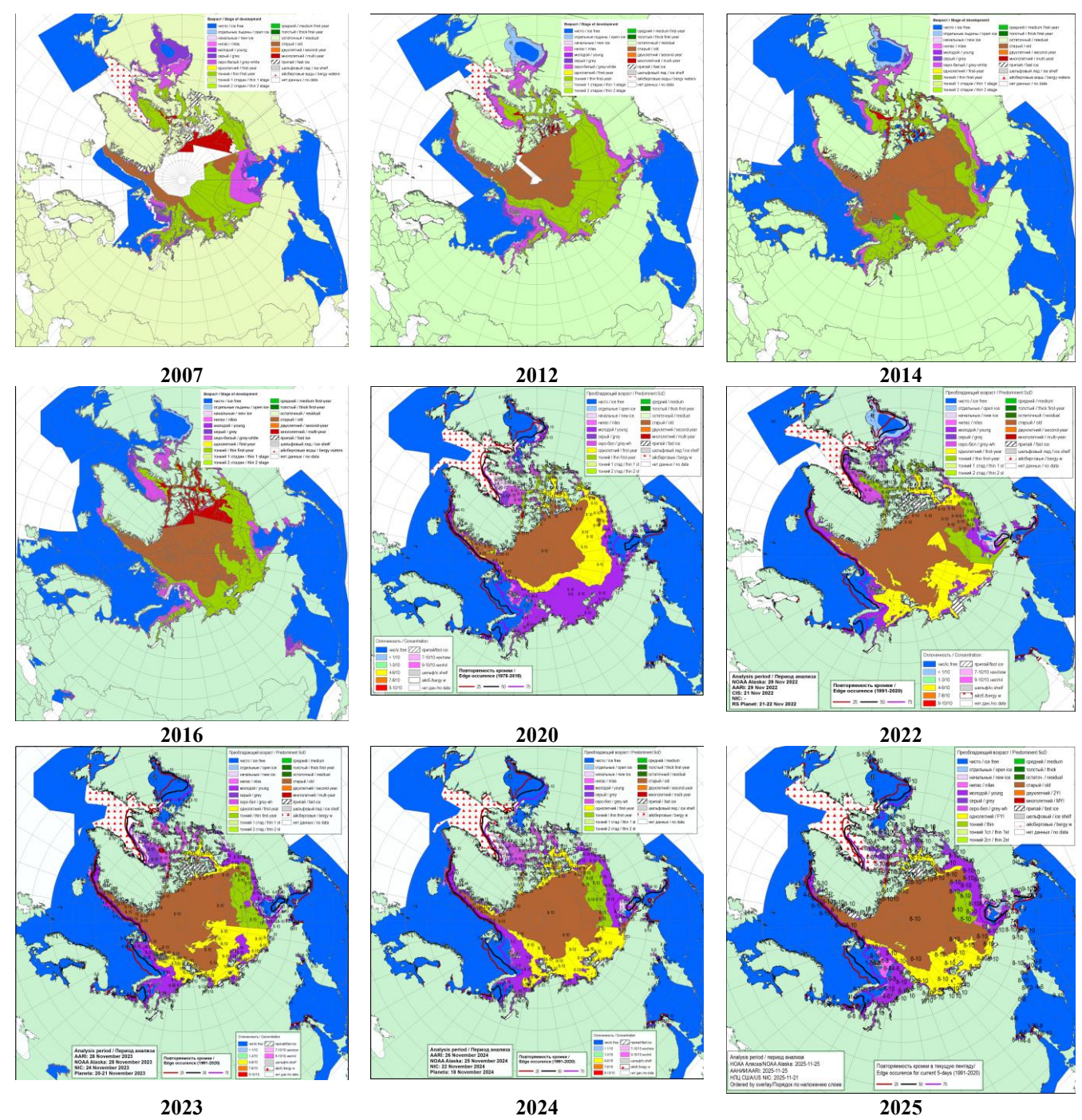


Рисунок 1ж — Ледовые условия за 21.11 - 25.11.2025. и аналогичные периоды 2007-2024 гг. на основе ледового анализа ААНИИ, НИЦ Планета, Канадской ледовой службы, Национального ледового центра США и НОАА Аляска [4, 10, 12, 23, 17].

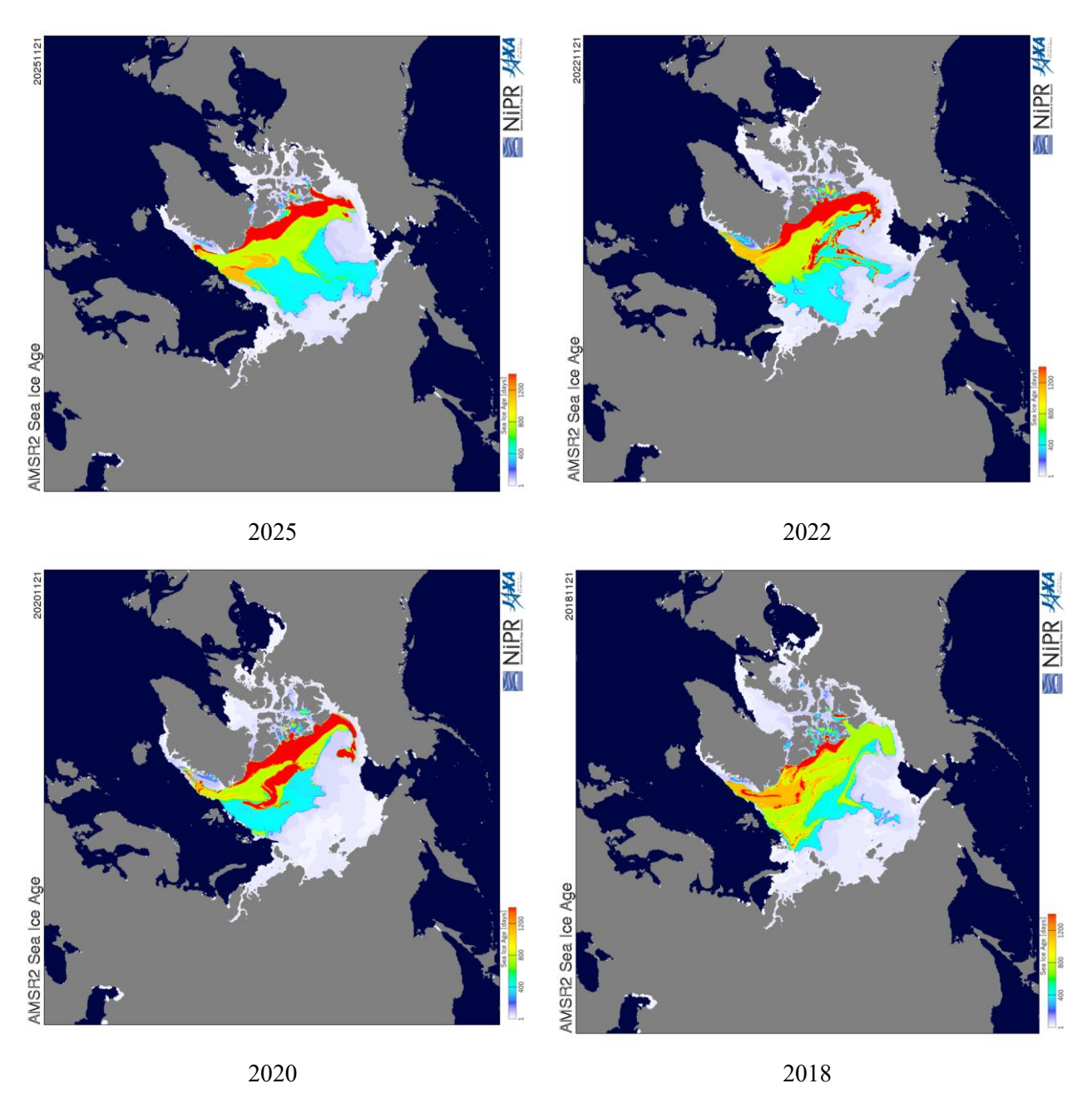


Рисунок 2a — Оценка возраста льда (сутки) на 21.11 за 2018 — 2025 гг. по данным JAXA-NIPR [29]

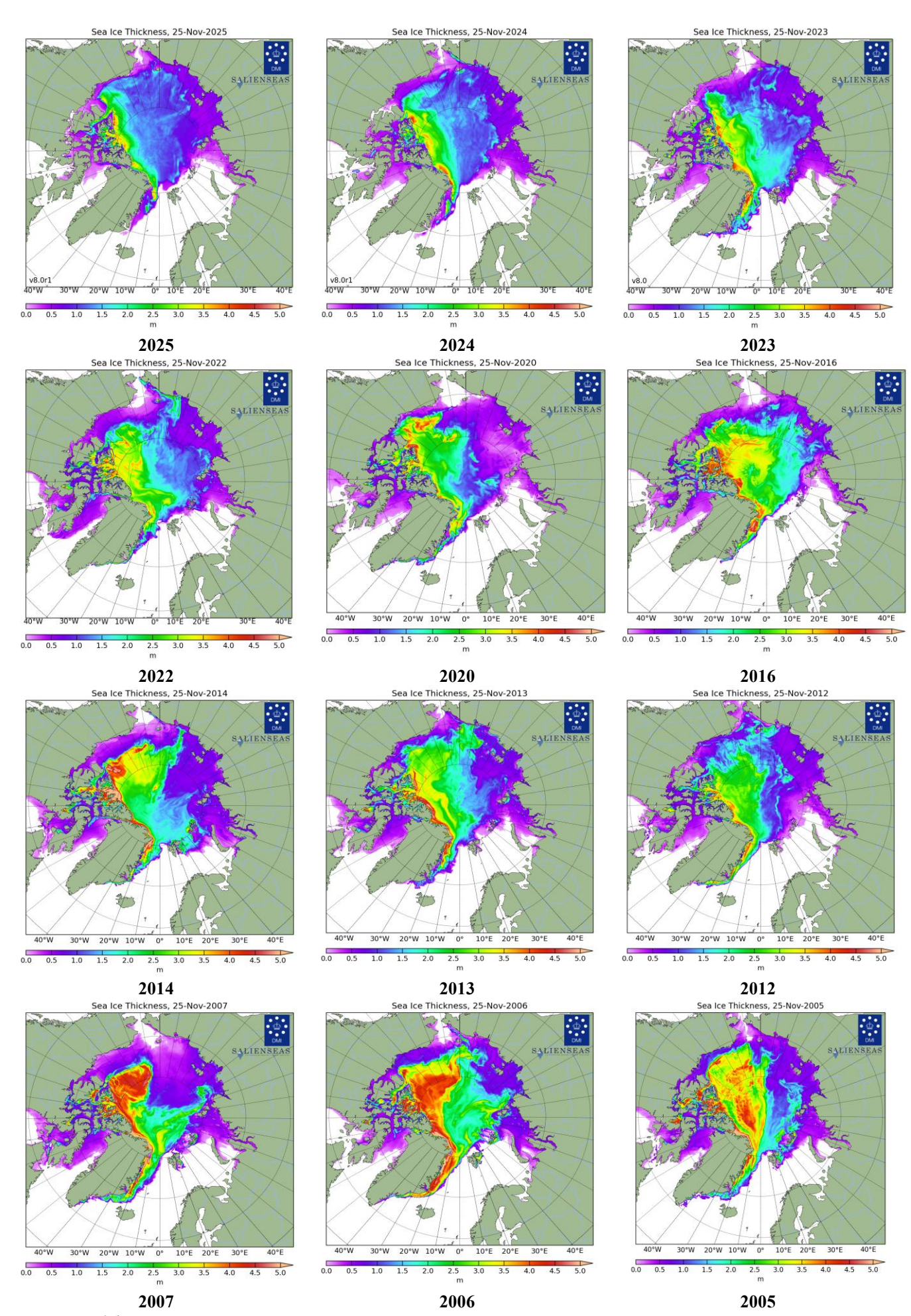


Рисунок 26 — Поля распределения средневзвешенной толщины льда совместной модели морского льда — океана HYCOM/CICE Датского метеорологического института 25.11 за 2005-2025 гг. [22].

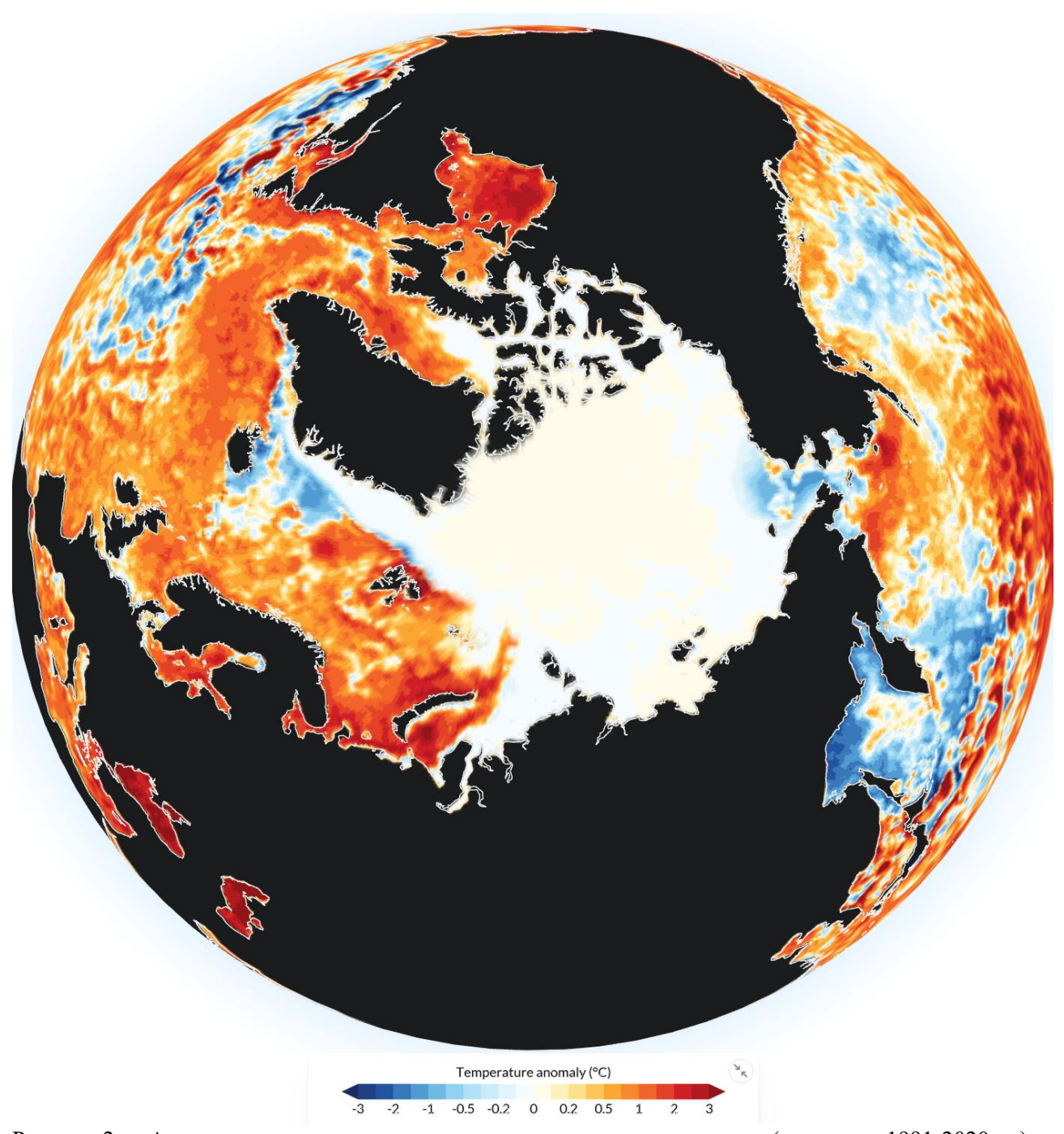


Рисунок 2в – Аномалия температуры поверхности морского льда и океана (к периоду 1991-2020 гг.) за 24.11.2025 (The <u>Copernicus Climate Change Service (C3S)</u>, implemented by the <u>European Centre for Medium-Range Weather Forecasts (ECMWF)</u> on behalf of the European Commission is part of the European Union's space programme)

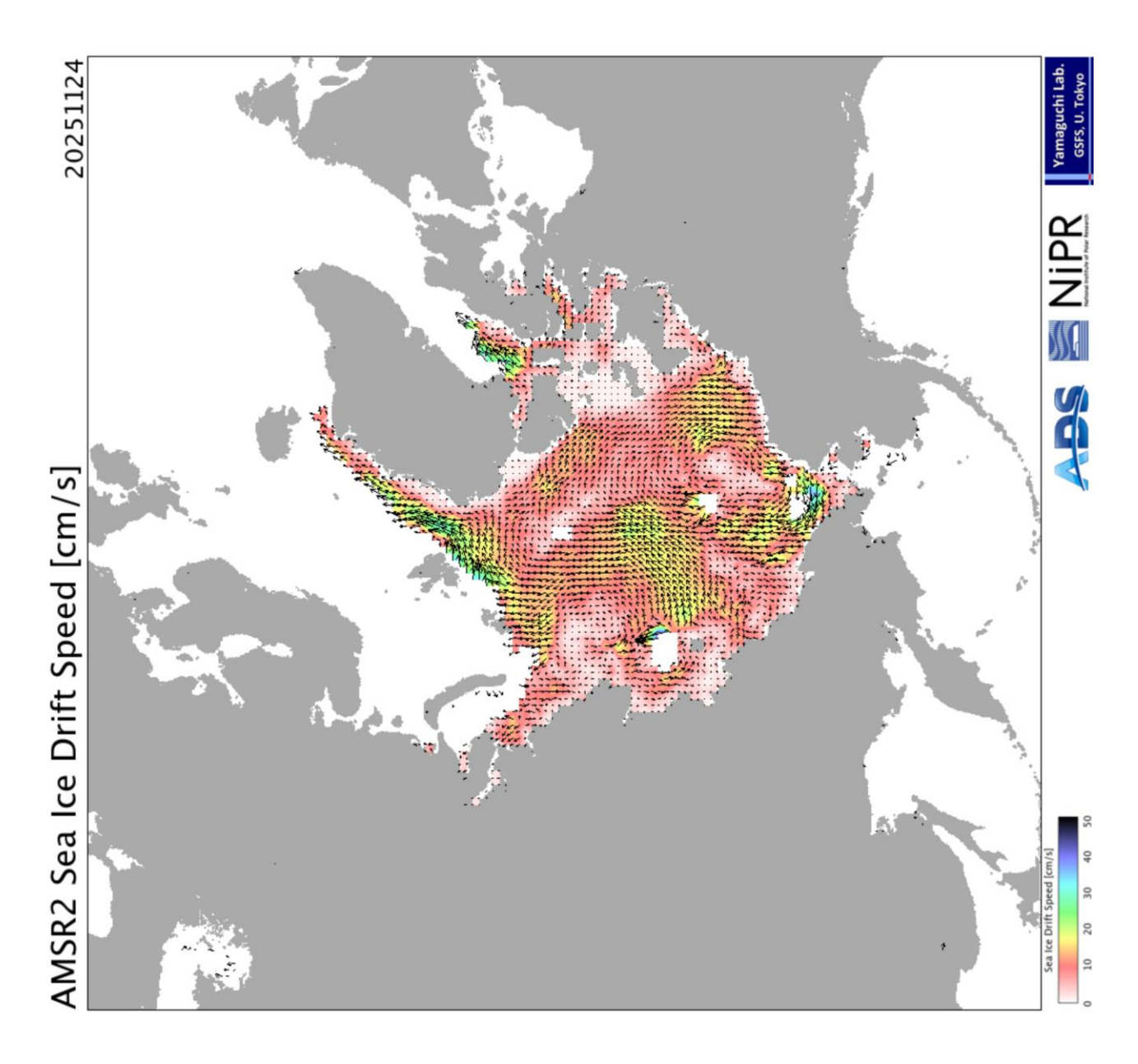


Рисунок 2г – Поле дрейфа морского льда Северной полярной области за последний доступный срок по данным AMSR2, источник JAXA [29].

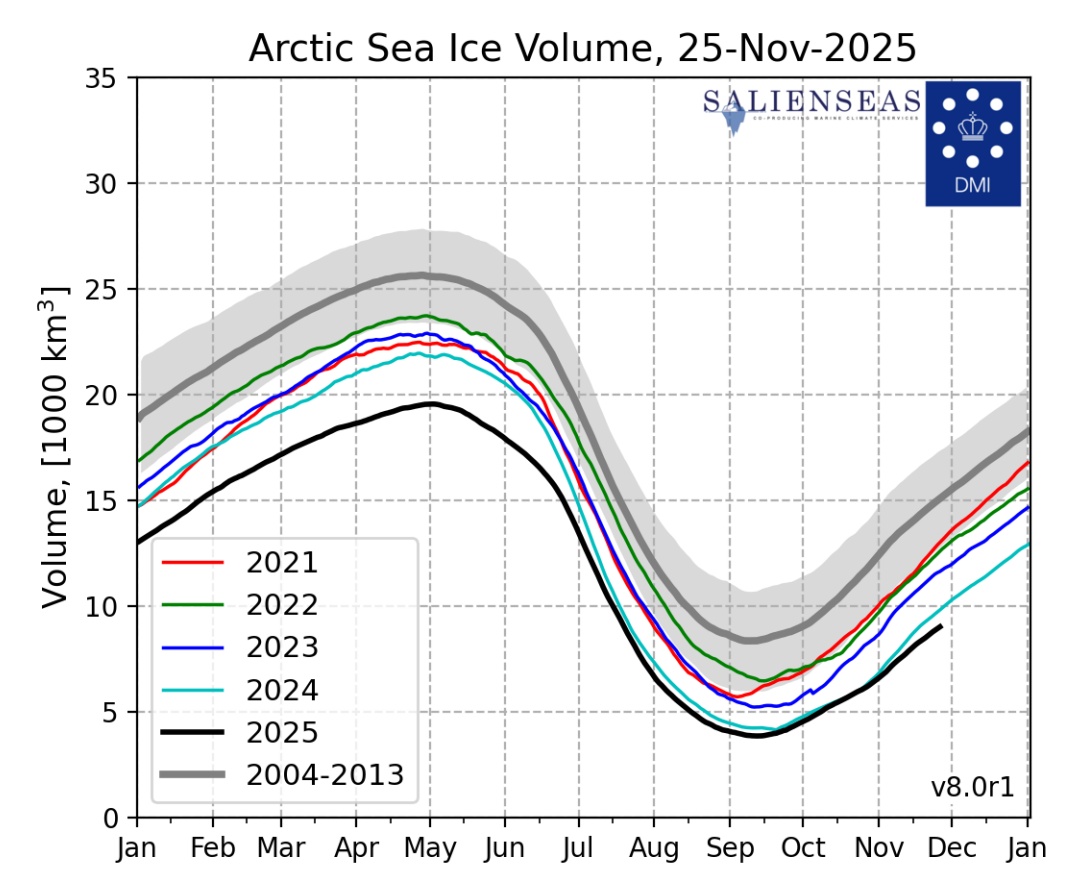


Рисунок 2д — Ежедневные оценки сезонного хода объема морского льда СЛО на основе расчетов средневзвешенной толщины льда совместной модели морского льда — океана HYCOM/CICE Датского метеорологического института с 28.02.2004 по последний доступный срок [22].

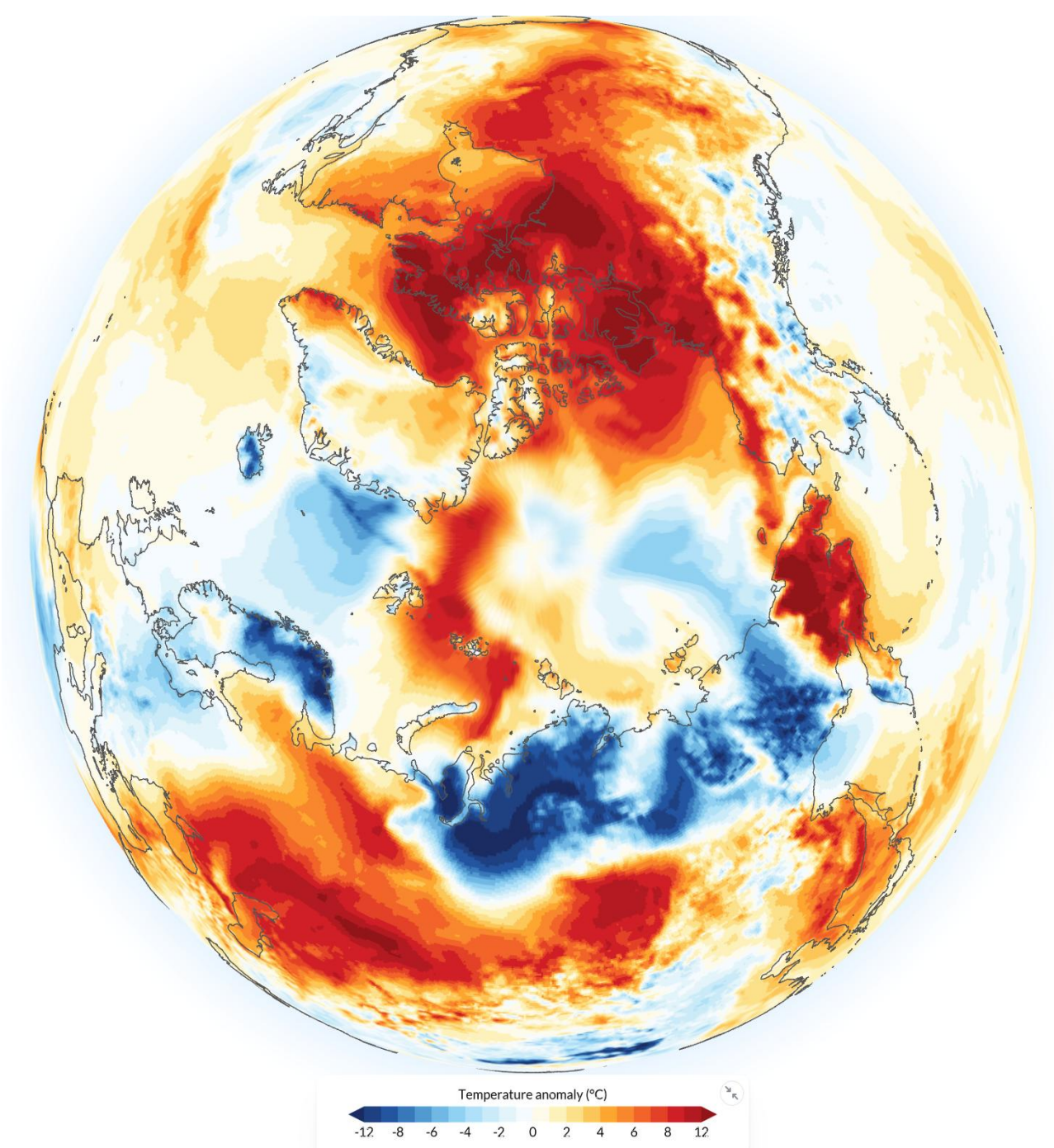


Рисунок 2e — Аномалия приземной температуры воздуха (2м) на 24.10.2025 г. относительно периода 1991-2020 гг. - The <u>Copernicus Climate Change Service (C3S)</u>, implemented by the <u>European Centre for Medium-Range Weather Forecasts (ECMWF)</u> on behalf of the European Commission is part of the European Union's space programme.

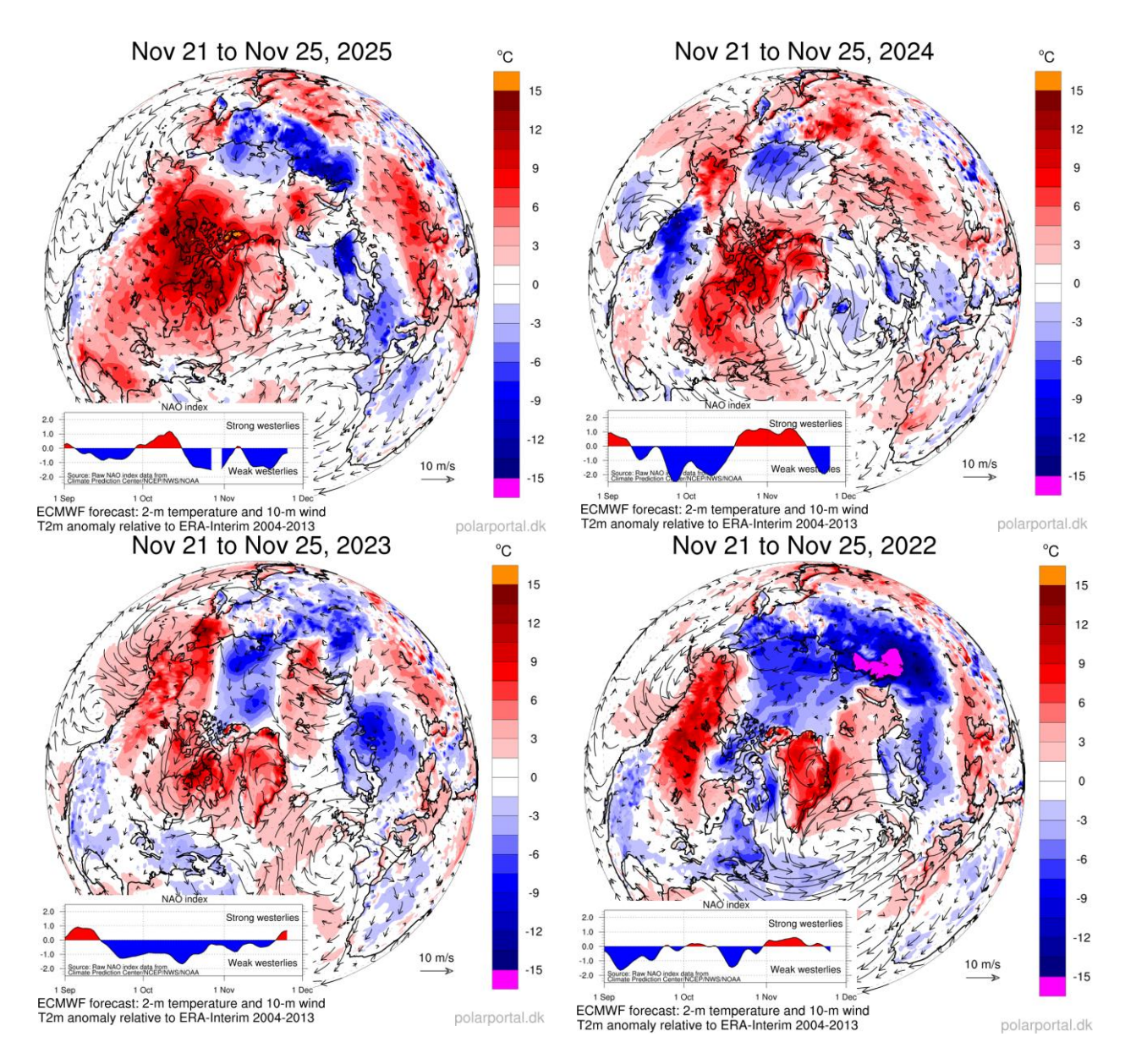


Рисунок 2ж — Аномалии приземной температуры воздуха (2м) и осредненные вектора скорости ветра (10 м) за последнюю пентаду 2022-2025 гг. относительно периода 2004-2013 гг. (http://polarportal.dk) [22]

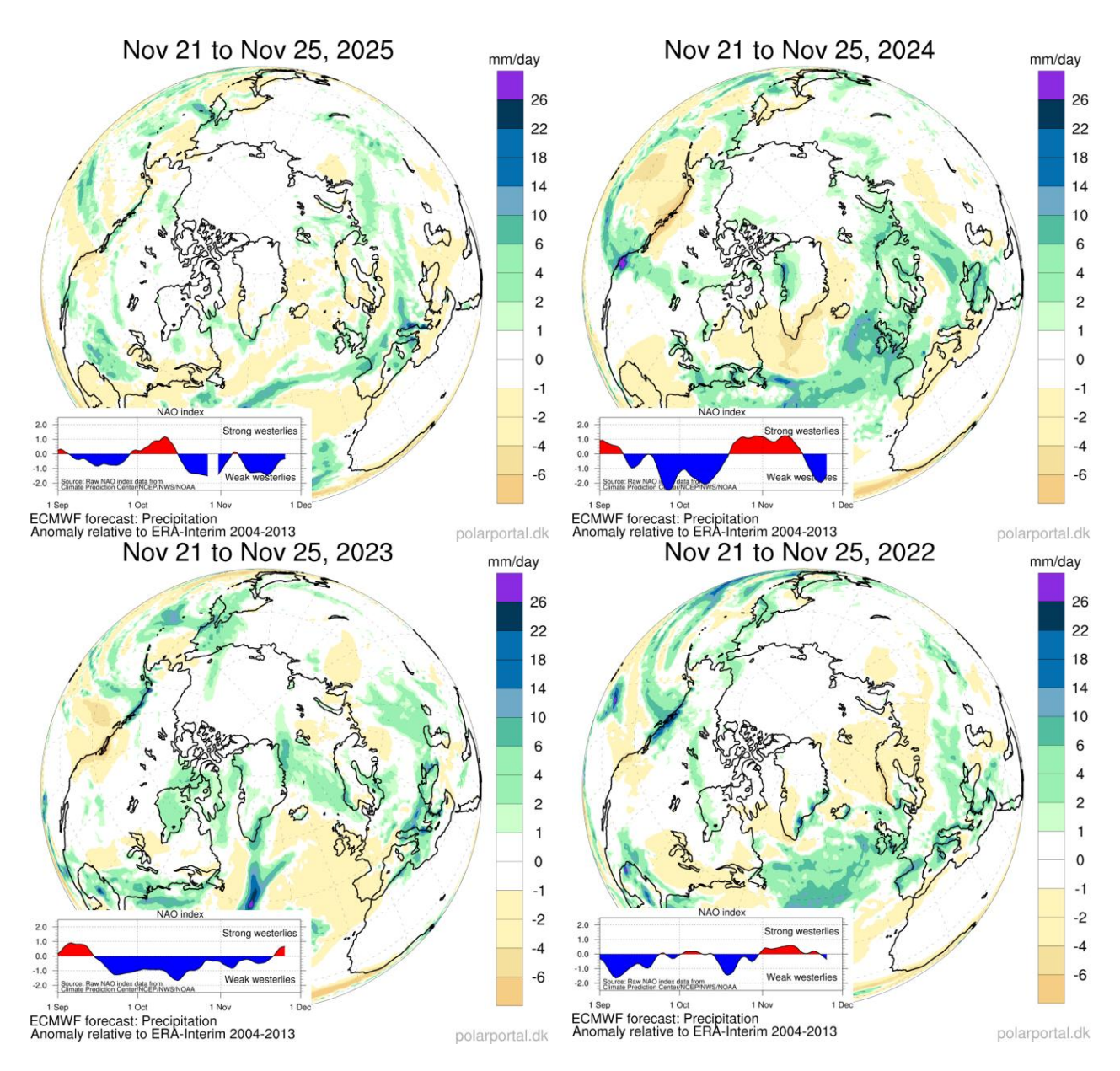


Рисунок 23 — Аномалии приземной суммы осадков за последнюю пентаду 2022-2025 гг. относительно периода 2004-2013 гг [22].

Таблица 1 - Медианные значения ледовитости для Северной полярной области, 3-х меридиональных секторов и морей СМП за текущие 30 и 7-дневные интервалы, и её аномалии от 2020-2024 гг. и интервалов 2015-2025 гг. и 1978-2025 гг. по данным наблюдений SSMR-SSM/I-SSMIS, алгоритмы NASATEAM [13-17]

Месяц	S, тыс.	Аномалии, тыс км2/%									
Месяц	км2	2020 г	2021 г	2022 г	2023 г	2024 г	2015-2025гг	1978-2025гг			
24.10-23.11 8532.5	8532.5	382.9	-847.9	-787.9	-765.5	-78.0	-280.4	-1351.1			
24.10-23.11	0002.0	4.7	-9.0	-8.5	-8.2	- 0.9	-3.2	-13.7			
17-23.11	9323.1	-182.5	-1155.4	-903.6	-1012.3	-374.2	-514.5	-1430.0			
17-23.11		-1.9	-11.0	-8.8	- 9.8	-3.9	-5.2	-13.3			

Сектор 45°W-95°E (Гренландское - Карское моря)

	Месяц	S, тыс.	Аномалии, тыс км2/%							
	месяц км2		2020 г	2021 г	2022 г	2023 г	2024 г	2015-2025гг	1978-2025гг	
	24 10 22 11	10-23.11 1586.2	-108.5	-545.9	-401.4	-763.8	-141.5	-320.5	-862.2	
	24.10-23.11		-6.4	-25.6	-20.2	-32.5	-8.2	-16.8	-35.2	
	17-23.11	1879.9	-6.9	-571.2	-356.7	-807.4	-206.1	-270.0	-793.6	
		1079.9	-0.4	-23.3	-15.9	-30.0	-9.9	-12.6	-29.7	

Сектор 95°E-170°W (моря Лаптевых - Чукотское, Берингово, Охотское)

Месяц	S, тыс.	Аномалии, тыс км2/%								
месяц км2		2020 г	2021 г	2022 г	2023 г	2024 г	2015-2025гг	1978-2025гг		
24.10-23.11 3309.5	778.3	-78.3	91.6	60.1	-13.9	211.0	29.0			
	30.7	-2.3	2.8	1.8	-0.4	6.8	0.9			
17 22 11	2440.4	204.9	-80.3	40.0	73.7	27.3	102.2	17.6		
17-23.11	3418.4	6.4	-2.3	1.2	2.2	0.8	3.1	0.5		

Сектор 170°W-45°W (море Бофорта и Канадская Арктика)

Месяц	S, тыс.	Аномалии, тыс км2/%								
месяц км2		2020 г	2021 г	2022 г	2023 г	2024 г	2015-2025гг	1978-2025гг		
24 10 22 11	24.10-23.11 3636.8	-286.9	-223.6	-478.2	-61.8	77.5	-170.9	-517.8		
24.10-23.11		-7.3	-5.8	-11.6	-1.7	2.2	-4.5	-12.5		
17-23.11	4024.9	-380.5	-503.8	-586.9	-278.6	-195.4	-346.7	-654.0		
17-23.11	4024.9	-8.6	-11.1	-12.7	-6.5	-4.6	-7.9	-14.0		

Северный Ледовитый океан

Месяц	S, тыс.		Аномалии, тыс км2/%								
км2		2020 г	2021 г	2022 г	2023 г	2024 г	2015-2025гг	1978-2025гг			
24.10-23.11	3.11 8093.3	415.4	-808.3	-706.5	-731.3	-76.7	-342.2	-1380.9			
24.10-23.11		5.4	-9.1	-8.0	-8.3	-0.9	-4.1	-14.6			
17 00 11	47.00.44	-173.7	-1007.8	-701.4	-926.4	-347.9	-524.1	-1355.4			
17-23.11 8815.2	-1.9	-10.3	-7.4	-9.5	-3.8	-5.6	-13.3				

Моря СМП (моря Карское-Чукотское)

	Moogu	S, тыс.	Аномалии, тыс км2/%								
	Месяц	км2	2020 г	2021 г	2022 г	2023 г	2024 г	2015-2025гг	1978-2025гг		
	24.10-23.11 2110.7	692.8	-464.4	-66.5	-245.7	-245.9	32.8	-383.3			
		48.9	-18.0	-3.1	-10.4	-10.4	1.6	-15.4			
	17-23.11 2449.9	375.2	-419.4	-64.7	-148.0	-276.1	2.0	-273.7			
		2449.9	18.1	-14.6	-2.6	-5.7	-10.1	0.1	-10.1		

Таблица 2 — Экстремальные и средние значения ледовитости для Северной полярной области, 3 меридиональных секторов и моря СМП за текущий 7-дневный интервал по данным наблюдений [13-17]

Северная полярная область Месяц Минимальное знач. Максимальное знач. Среднее знач. Медиана 8539.1 12351.7 17-23.11 10753.1 10694.3 19.11.2016 23.11.1978 Сектор 45°W-95°E (Гренландское - Карское моря) Месяц Минимальное знач. Максимальное знач. Среднее знач. Медиана 1455.4 3509.0 2673.4 17-23.11 2762.2 23.11.1988 19.11.2016 Сектор 95°E-170°W (моря Лаптевых - Чукотское, Берингово, Охотское) Месяц Минимальное знач. Максимальное знач. Среднее знач. Медиана 3094.9 3632.9 17-23.11 3400.8 3411.3 20.11.2016 22.11.1994 Сектор 170°W-45°W (море Бофорта и Канадская Арктика) Минимальное знач. Месяц Максимальное знач. Среднее знач. Медиана 3847.7 5775.2 17-23.11 4678.8 4639.0 23.11.1986 17.11.2019 Северный Ледовитый океан Месяц Минимальное знач. Максимальное знач. Среднее знач. Медиана 8316.6 11635.1 17-23.11 10170.7 10177.0 19.11.2016 23.11.1978 Моря СМП (моря Карское-Чукотское) Минимальное знач. Среднее знач. Месяц Максимальное знач. Медиана

Таблица 3 — Динамика изменения значений ледовитости по сравнению с предыдущей неделей для морей Северной полярной области за 17.11 - 23.11.2025 г. по данным наблюдений SSMR-SSM/I-SMIS [13-17]

3025.9

19.11.1999

2723.7

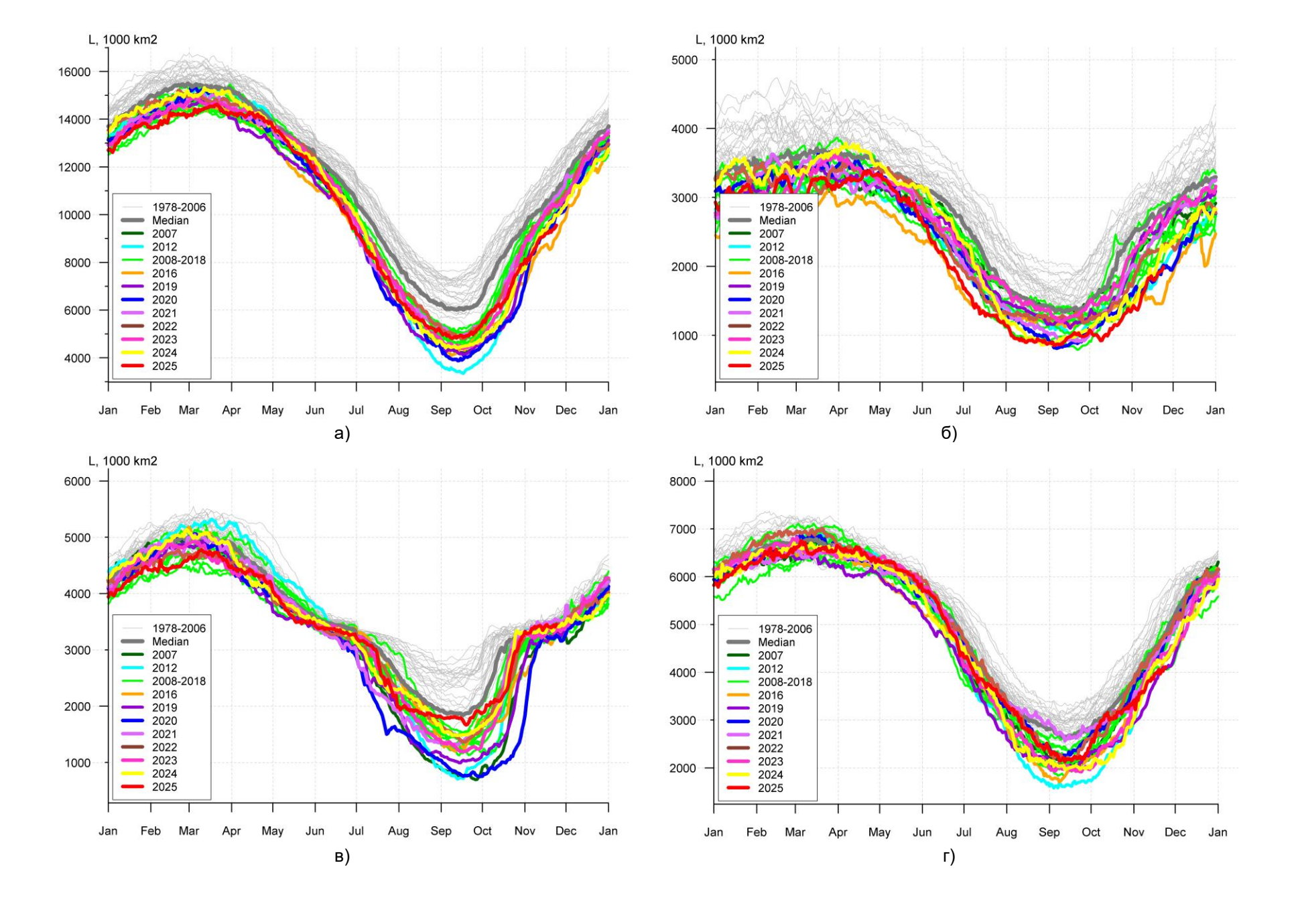
2761.9

1874.9

20.11.2016

17-23.11

Регион	Северная	Сектор 45°W-	Сектор 95°Е-	Сектор	Северный	Моря СМП
	полярная область	95°E (Гренландское -	170°W (моря Лаптевых -	170°W-45°W (море	Ледовитый океан	(моря Карское-
	OOJIACIB	Карское моря)	Чукотское,	Бофорта и	океан	Чукотское)
		, ,	Берингово,	Канадская		,
			Охотское)	Арктика)		
Разность	292.9	100.9	11.5	180.5	279.1	159.6
тыс.кв.км/сут.	41.8	14.4	1.6	25.8	39.9	22.8



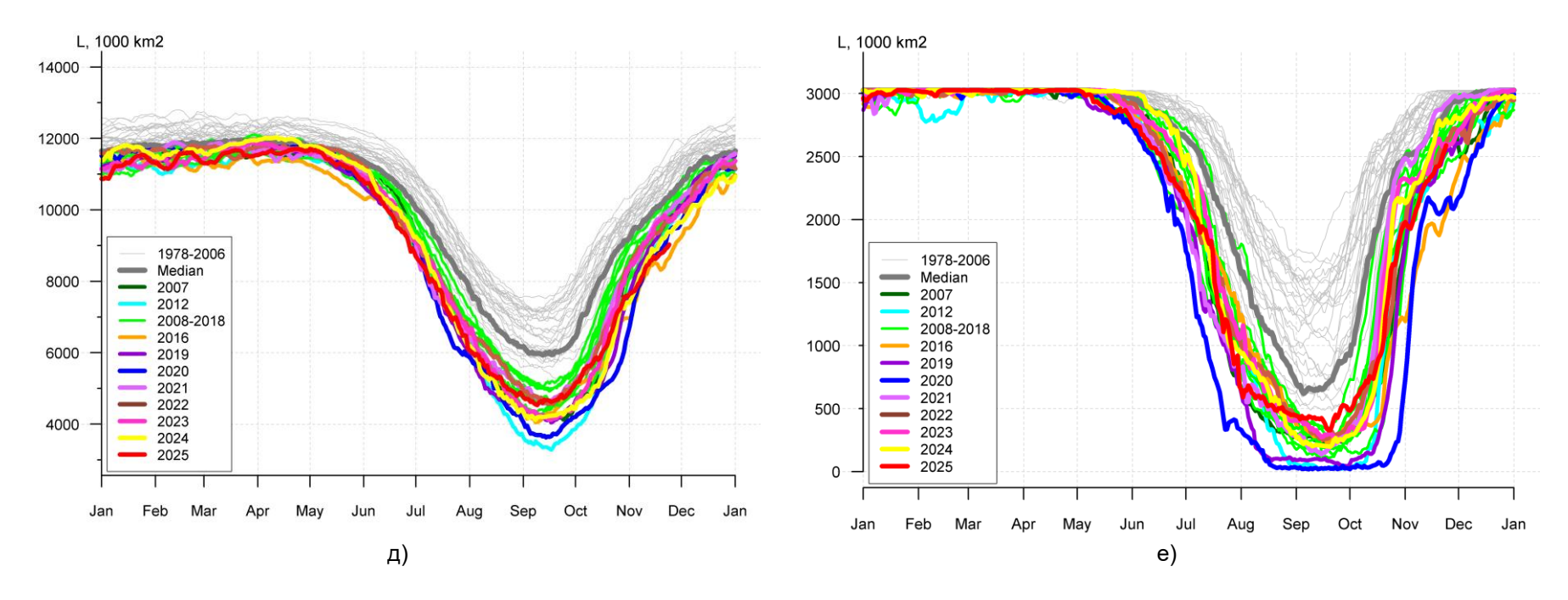


Рисунок 3а — Ежедневные оценки сезонного хода ледовитости для Северной Полярной Области и трех меридиональных секторов, СЛО и морей СМП за период 26.10.1978 — последний доступный срок по годам на основе расчетов по данным SSMR-SSM/I-SSMIS, алгоритмы NASATEAM: а) Северная полярная область, б) сектор 45°W-95°E (Гренландское — Карское моря), в) сектор 95°E-170°W (моря Лаптевых — Чукотское и Берингово, Охотское), г) сектор 170°W-45°W (море Бофорта и Канадская Арктика), д) Северный Ледовитый океан, е) Северный морской путь (Карское - Чукотское моря) [13-17].

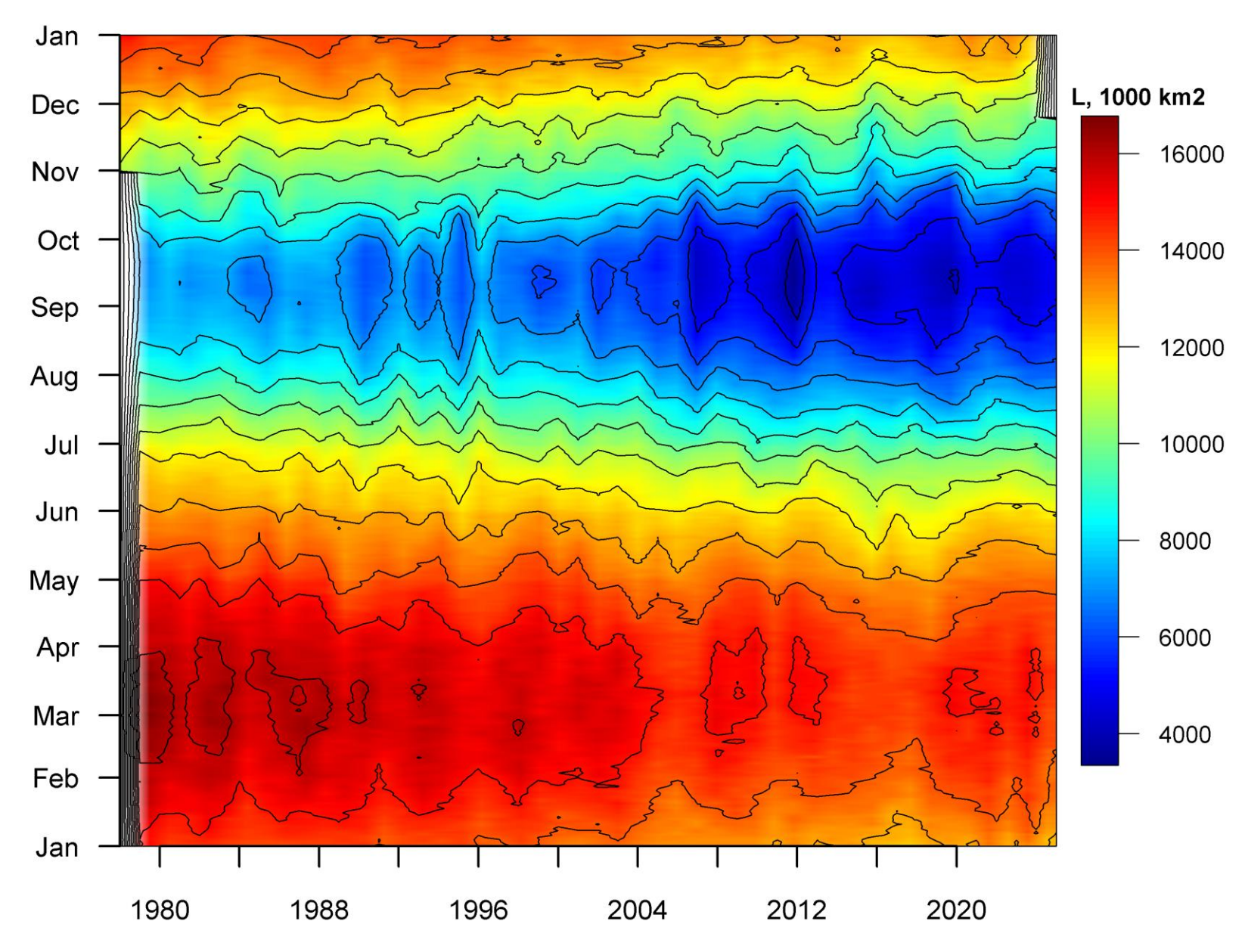


Рисунок 36 — Ежедневные оценки сезонных изменений ледовитости для Северной Полярной Области за период 26.10.1978 — последний доступный срок на основе расчетов по данным SSMR-SSM/I-SSMIS, алгоритм NASATEAM [13-17].

Южный океан

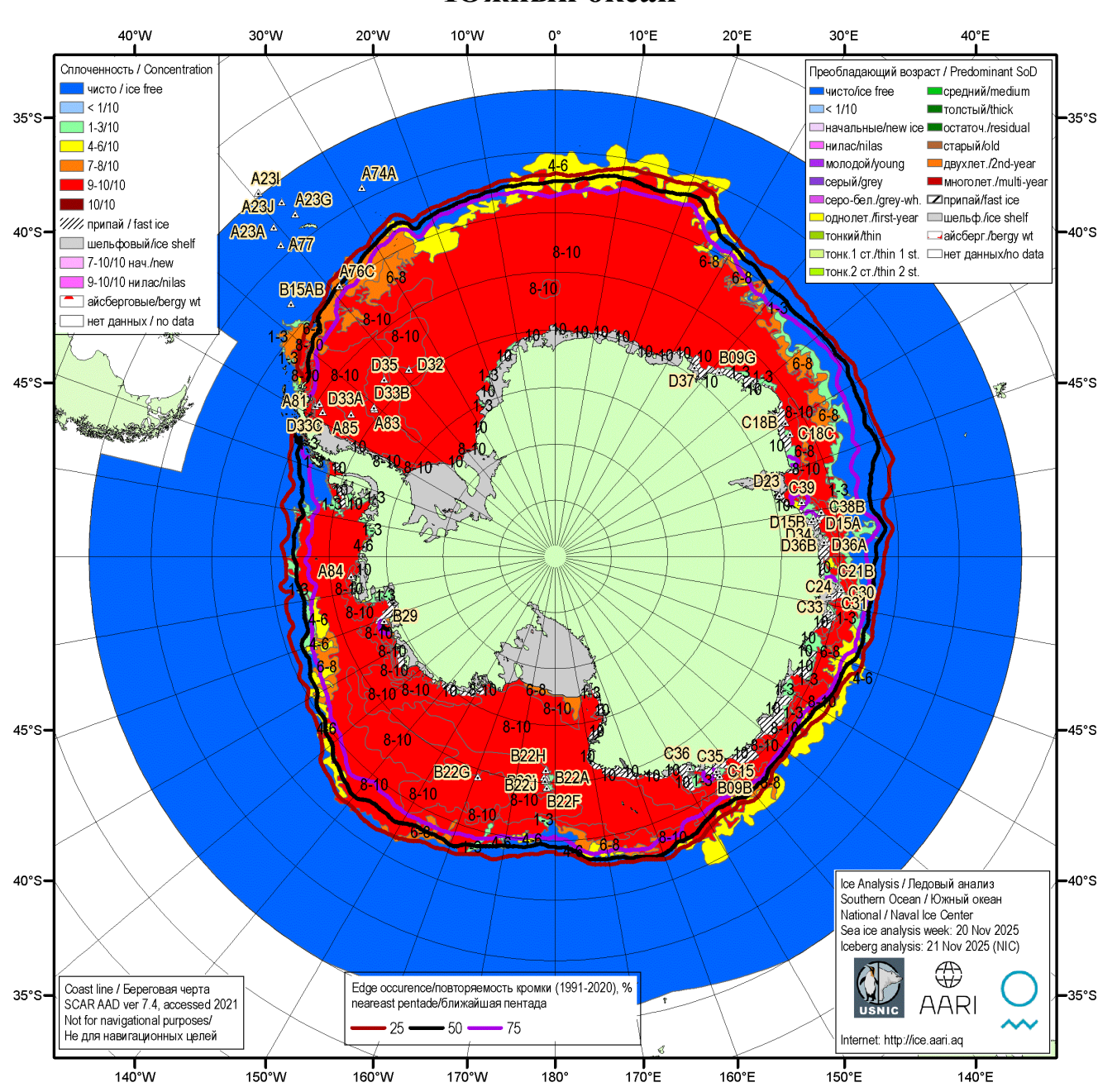


Рисунок 5а — Ледовая карта Южного океана (цветовая окраска по общей сплоченности) и расположение крупных айсбергов на основе ледового анализа за 20-21.11.2025 в рамках проекта совместного ледового картирования Южного океана ААНИИ, НЛЦ США и НМИ и повторяемость кромки за ближайшую пентаду за период 1991-2020 гг. по наблюдениям SSMR-SSM/I-SSMIS (алгоритм NASATEAM) [5, 10, 17, 21]

h

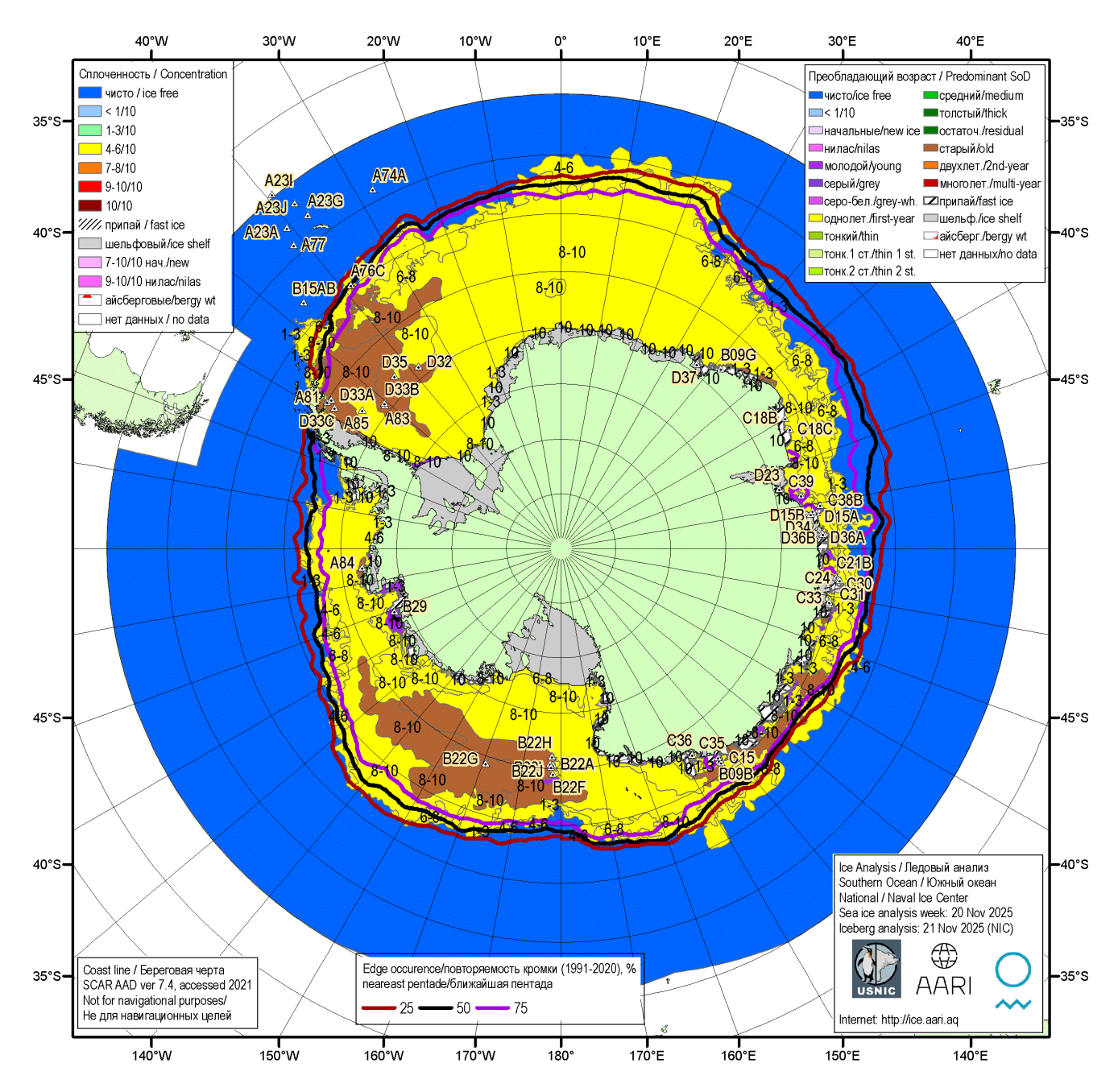


Рисунок 5б — Ледовая карта Южного океана (цветовая окраска по возрасту) и расположение крупных айсбергов на основе ледового анализа за 20-21.11.2025 в рамках проекта совместного ледового картирования Южного океана ААНИИ, НЛЦ США и НМИ и повторяемость кромки за ближайшую пентаду за период 1991-2020 гг. по наблюдениям SSMR-SSM/I-SSMIS (алгоритм NASATEAM) [5, 10, 17, 21].

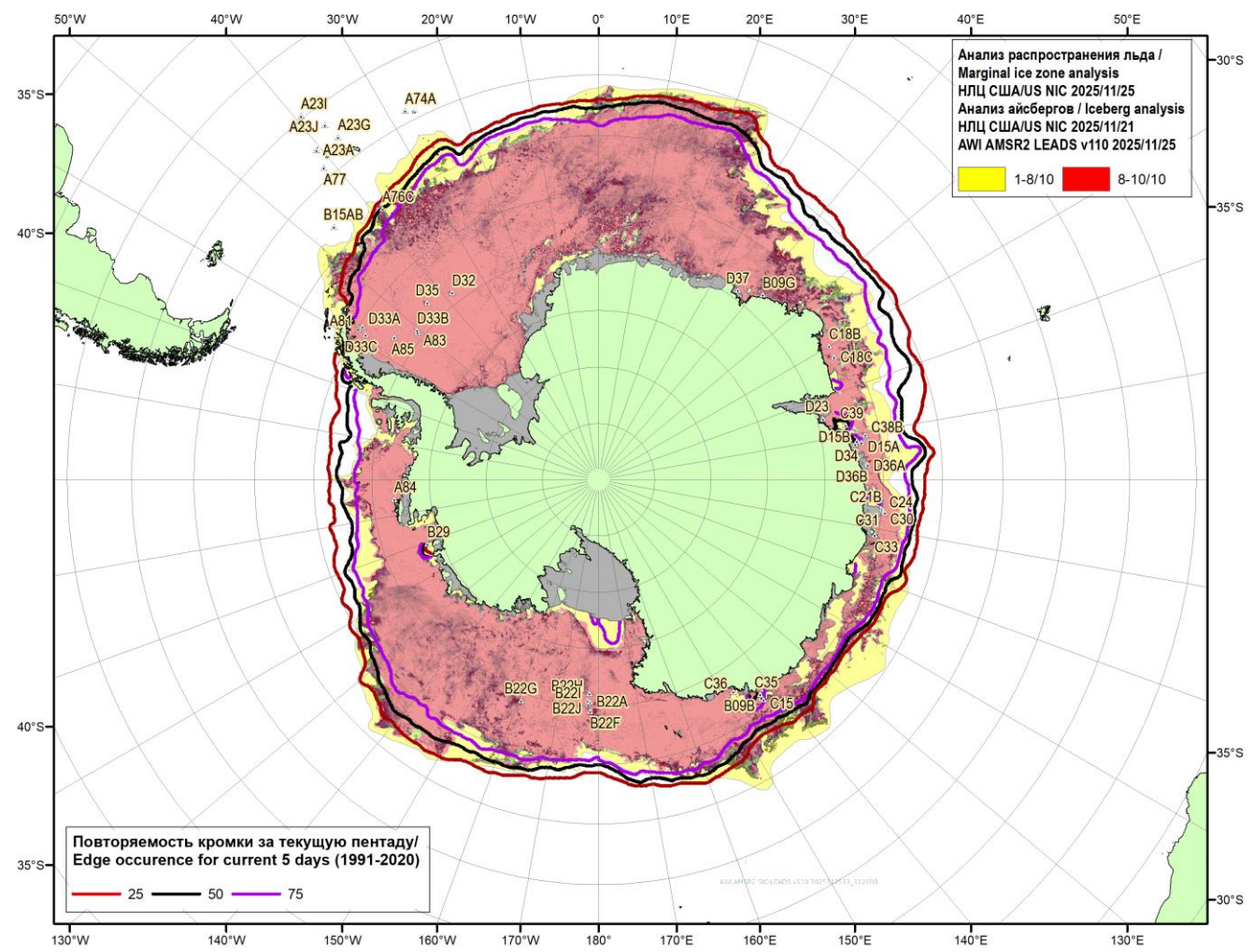


Рисунок 5в — Положение кромки льда и зон разреженных (<8/10) и сплоченных (≥8/10) льдов Южного океана за 25.11.2025 г. и расположение крупных айсбергов за 21.11.2025 на основе ледового анализа Национального Ледового Центра США, повторяемость кромки за ближайшую пентаду за период 1991-2020 гг. по наблюдениям SSMR-SSM/I-SSMIS (алгоритм NASATEAM), совмещенное с положением разрежений на основе данных ИСЗ AMSR2 за 25.11.2025 (AWI, v110) [10, 17, 24]

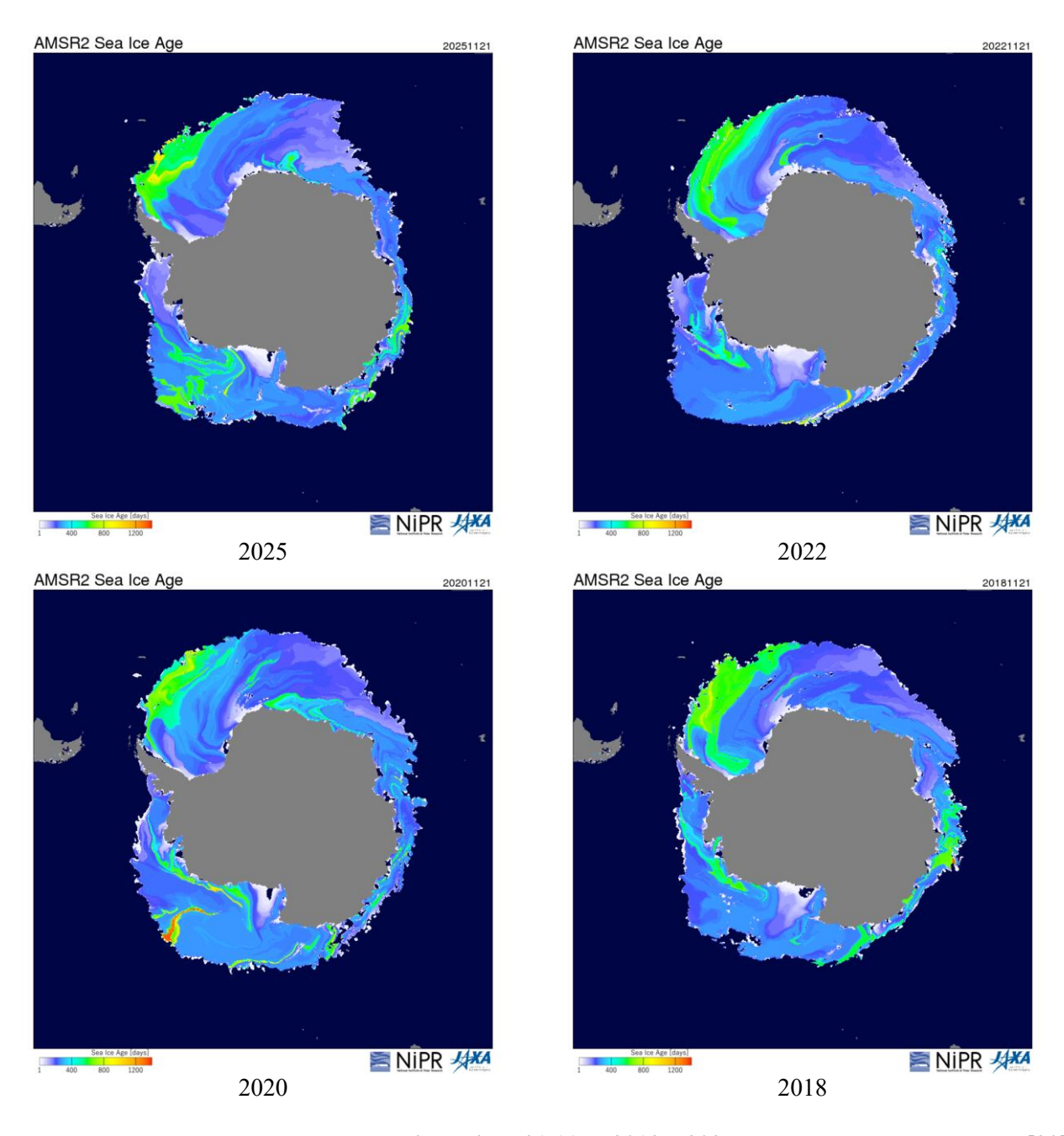


Рисунок 5г — Оценка возраста льда (сутки) на 21.11 за 2018-2025 гг. по данным JAXA-NIPR [29]

Рисунок 6 — Поле дрейфа морского льда Южного океана за последний доступный срок по данным AMSR2, источник JAXA [29]

NiPR

Таблица 4 — Линейные размеры и площадь крупных айсбергов Южного океана на основе анализа НЛЦ США за 21.11.2025 [11]

Имя	Длина км	Ширина км	Площадь кв.км	Имя	Длина км	Ширина км	Площадь кв.км
D15A	94.452	40.744	3070.99	B22H	35.188	12.964	125.68
B22A	53.708	46.3	1575.67	D23	12.964	11.112	123.32
A81	51.856	46.3	1421.5	A23G	37.04	14.816	117.38
A23A	48.152	40.744	1373.63	C18B	18.52	7.408	111.2
C36	42.596	29.632	866.31	D32	16.668	11.112	103.71
D15B	59.264	22.224	833.39	B22I	16.668	9.26	98.74
D33A	62.968	18.52	642.26	B15AB	18.52	7.408	90.84
A74A	42.596	24.076	541.18	B22G	16.668	9.26	84.57
B09B	50.004	18.52	505.54	C39	27.78	14.816	81.72
D37	55.56	12.964	477.77	B22J	20.372	7.408	78.35
A23I	35.188	20.372	354.27	C30	16.668	5.556	76.33
D35	51.856	11.112	347.54	C31	16.668	5.556	72.08
A76C	29.632	12.964	343.01	C18C	18.52	3.704	64.58
B22F	25.928	14.816	329.65	C33	20.372	7.408	64.13
A77	50.004	7.408	316.83	A85	18.52	5.556	62.62
D33B	38.892	22.224	304.59	C24	20.372	5.556	62.33
C21B	22.224	14.816	258.06	C35	14.816	9.26	57.29
D33C	27.78	12.964	222.34	B29	20.372	9.26	56.86
C15	25.928	18.52	212.99	D36A	11.112	9.26	44.54
A84	22.224	11.112	201.16	A23J	22.224	5.556	41.01
A83	22.224	12.964	189.82	C38B	14.816	12.964	38.85
D34	20.372	14.816	171.84	D36B	16.668	3.704	27.17
B09G	22.224	12.964	160.91				

Суммарная площадь == 16405 кв. км (28.08.2025 - 17450, 18.07.2025 - 18106, 05.06.2025 - 18240, 02.05.2025 - 18445, 27.03.2025 - 18830, 21.02.2025 - 19222, 23.01.2025 - 18636 кв. км)

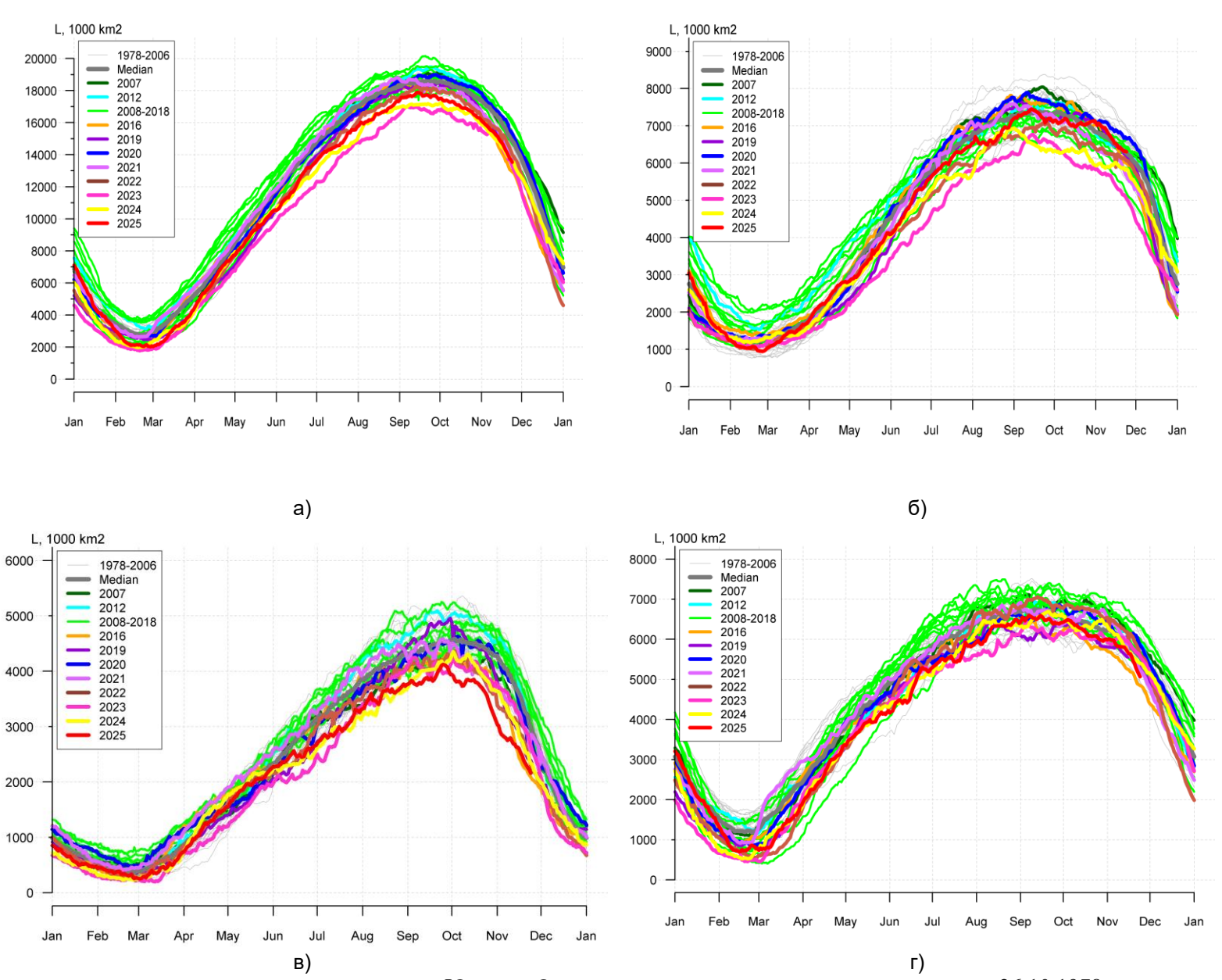


Рисунок 7а — Ежедневные оценки сезонного хода ледовитости Южного Океана и меридиональных секторов за период 26.10.1978 — последний доступный срок по годам на основе расчетов по данным SSMR-SSM/I-SSMIS, алгоритм NASATEAM: а) Южный Океан, б) Атлантический сектор (60°W-30°E, море Уэдделла), в) Индоокеанский сектор (30°E-150°E, моря Космонавтов, Содружества, Моусона), г) Тихоокеанский сектор (150°E-60°W, моря Росса, Беллинсгаузена) [13-17]

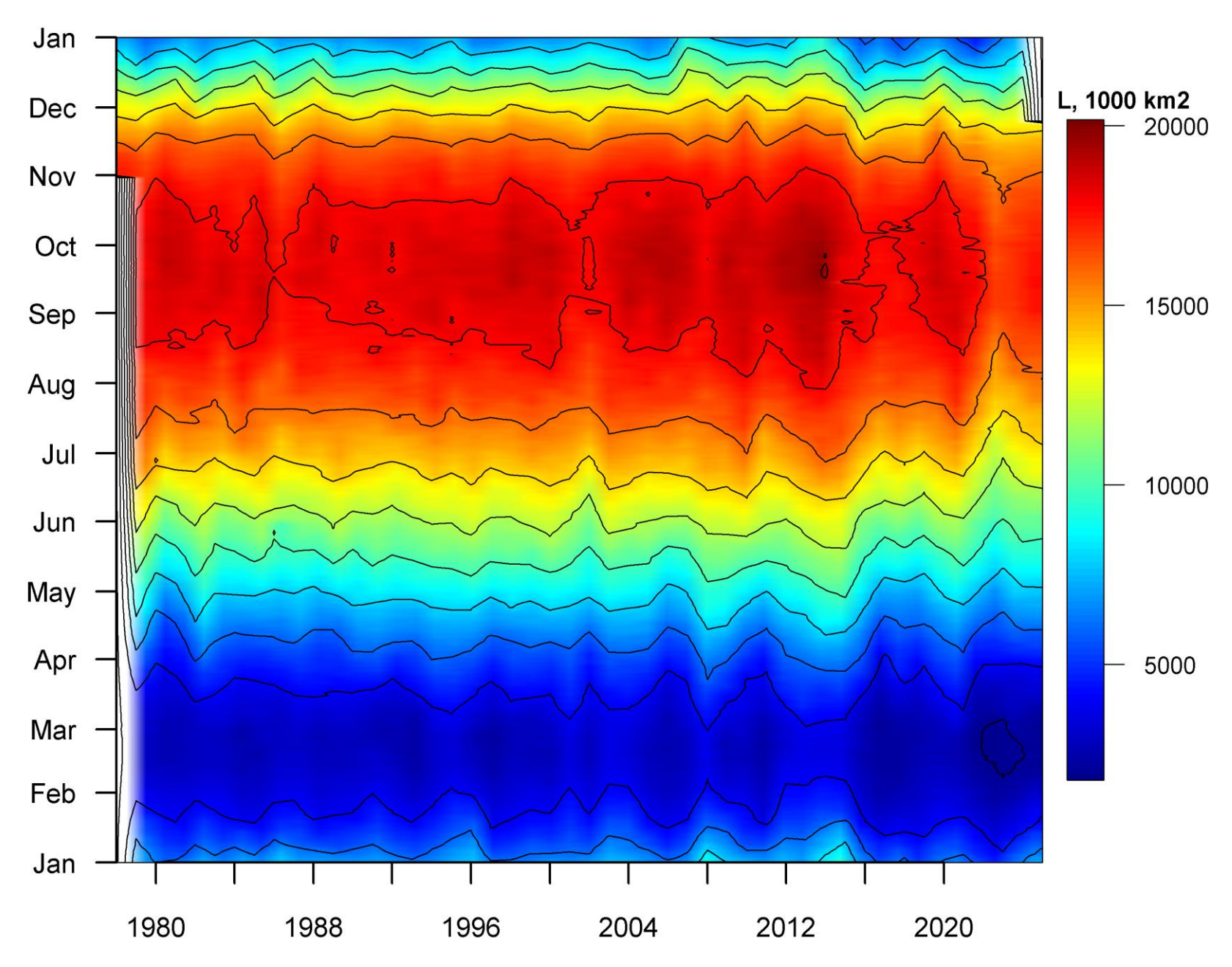


Рисунок 76 — Ежедневные оценки сезонных изменений ледовитости для Южного океана за период 26.10.1978 — последний доступный срок на основе расчетов по данным SSMR-SSM/I-SSMIS, алгоритм NASATEAM [13-17].

Таблица 5 — Медианные и экстремальные значения ледовитости для Южного океана и 3 меридиональных секторов за текущие 30 и 7-дневные интервалы и её аномалии от 2020-2024 гг. и интервалов 2015-2025 гг. и 1978-2025 гг. по данным наблюдений SSMR-SSM/I [13-17]

интервалов 20	15-2025 гг.	и 1978-20	25 гг.	. по д	анным нас Южный		ій S	SMR-SSN	M/I [13-17	/]	
	S, тыс.						1. ТЬ	ыс км2/%			
Месяц	км2	2020 г	202	21 г	2022 г	2023 г		2024 г	2015-20	25гг	1978-2025гг
04.40.00.44	45400.4	-1636.3		35.6	-393.1	393.		194.7		28.5	-1125.2
24.10-23.11	15433.1	-9.6		-2.7	-2.5	2.		1.3		-2.7	-6.8
47.00.44	11100 6	-1764.7	-22	22.2	-646.7	224.	1	116.1	-38	0.08	-1180.0
17-23.11	14128.6	-11.1		-1.5	-4.4	1.	6	8.0		-2.6	-7.7
		Атлан	тичес	ский с	ектор (60°	W-30°E,	, мо	ре Уэдде	лла)		
Месяц	S, тыс.	Аномалии, тыс км2/%									
Месяц	км2	2020 г	202		2022 г	2023 г		2024 г	2015-20		1978-2025гг
24.10-23.11	6804.8	-223.4	52	21.1	490.3	1181.		826.2	3	70.3	155.0
24.10-25.11	0004.0	-3.2		8.3	7.8	21.		13.8		5.8	2.3
17-23.11	6383.5	-392.7	4	16.1	221.0	1164.		494.4	29	93.9	51.9
17 20.11		-5.8		7.0	3.6	22.		8.4		4.8	8.0
Индоокеанский сектор (30°E-150°E, моря Космонавтов, Содружества, М								Moyc	она)		
Месяц	S, тыс.							ыс км2/%			
Мосяц	км2	2020 г	202		2022 г	2023 г		2024 г	2015-20		1978-2025гг
24.10-23.11	2837.3	-989.7		88.4	-361.7	-635.		-405.5		45.2	-1011.8
		-25.9		17.2	-11.3	-18.		-12.5		18.5	-26.3
17-23.11	2360.7	-676.6		76.2	-297.5	-585.		-229.5		69.3	-877.6
		-22.3		19.6	-11.2	-19.		-8.9		16.6	-27.1
		коокеански	іи сек	тор (150°E-60°V				инсгаузен	на)	
Месяц	S, тыс. км2	2020 г	202	01 -	Ан 2022 г	юмалии 2023 г		ыс км2/% 2024 г	2015-20	25	1978-2025гг
	KIVI∠	-423.2		68.3	-521.8	-152.		-226.0		53.6	-268.5
24.10-23.11	5791.0	-423.2		-6.0	-8.3	-132. -2.		-3.8		-2.6	-4.4
		-695.5		62.2	-570.1	-355.		-148.8		<u>-2.0</u> 04.7	-354.4
17-23.11	5384.3	-11.4		-1.1	-9.6	-6.		-2.7		-3.7	-6.2
	I	11.7			Южный			2.1		0.7	0.2
Месяц	Миник	иальное зн	ач.	Мак	симально			Среднее	знач.		Медиана
		13008.5			16766.7						
17-23.11		3.11.2016			17.11.201			15308	3.6		15432.4
			тичес	ский с	ектор (60°		, MOI	ре Уэдде	лла)		
Месяц	Миник	иальное зн			симально			Среднее			Медиана
		5104.9			7309.3						
17-23.11 3104.9 23.11.2023					17.11.198	88	6331.6				6368.8
	Индоокеа	нский сект	op (30)°E-1	50°Е, моря	і Космон	навт	гов, Содр	ужества,	Moyo	она)
Месяц	Миник	иальное зн	ач.	Ман	симально	е знач.	Среднее знач.			Медиана	
17-23.11		2123.6			4228.0	_	3238.4		3265.8		
11-20.11		3.11.2016			17.11.198					0200.0	
	Тих	коокеански	ій сек	тор (150°E-60°V	V, моря	Poc	са, Белл	инсгаузен	<u>на)</u>	

Таблица 6 — Динамика изменения значений ледовитости по сравнению с предыдущей неделей для морей Южного океана за 17.11 - 23.11.2025 по данным наблюдений SSMR-SSM/I-SSMIS [13-17]

Максимальное знач.

6637.0

17.11.2013

Месяц

17-23.11

Минимальное знач.

4867.9

23.11.2016

Регион	Южный Океан	Атлантический	Индоокеанский	Тихоокеанский		
		сектор	сектор	сектор		
Разность	-973.0	-275.2	-320.4	-377.3		
тыс.кв.км/сут.	-139.0	-39.3	-45.8	-53.9		

Медиана

5697.2

Среднее знач.

5738.6

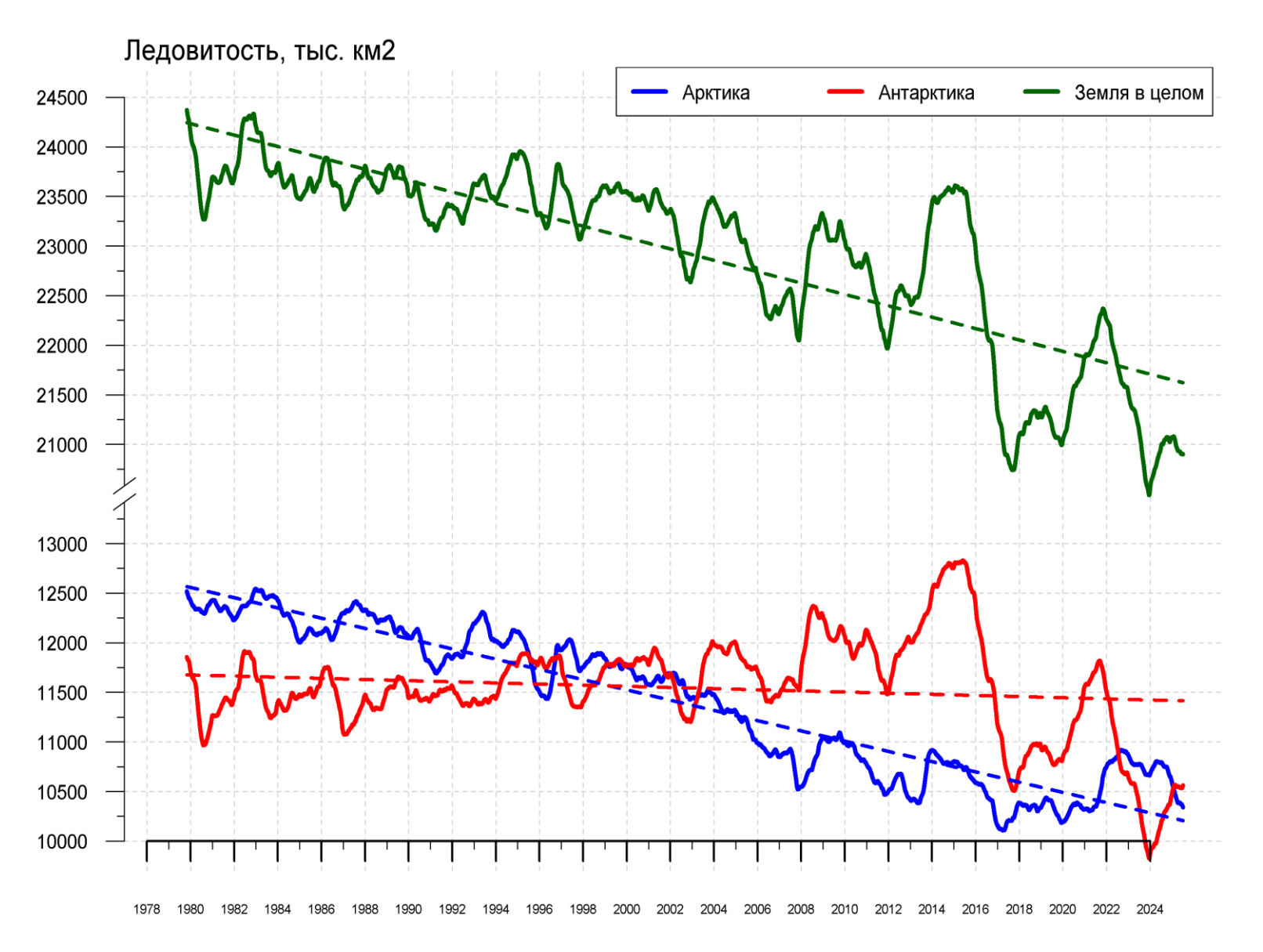


Рисунок 9 — Ежедневные сглаженные окном 365 суток значения ледовитости (площади распространения морского льда) Арктики, Антарктики и Земли в целом с 26.10.1978 по последний доступный срок на основе SSMR-SSM/I-SSMIS [13-17]

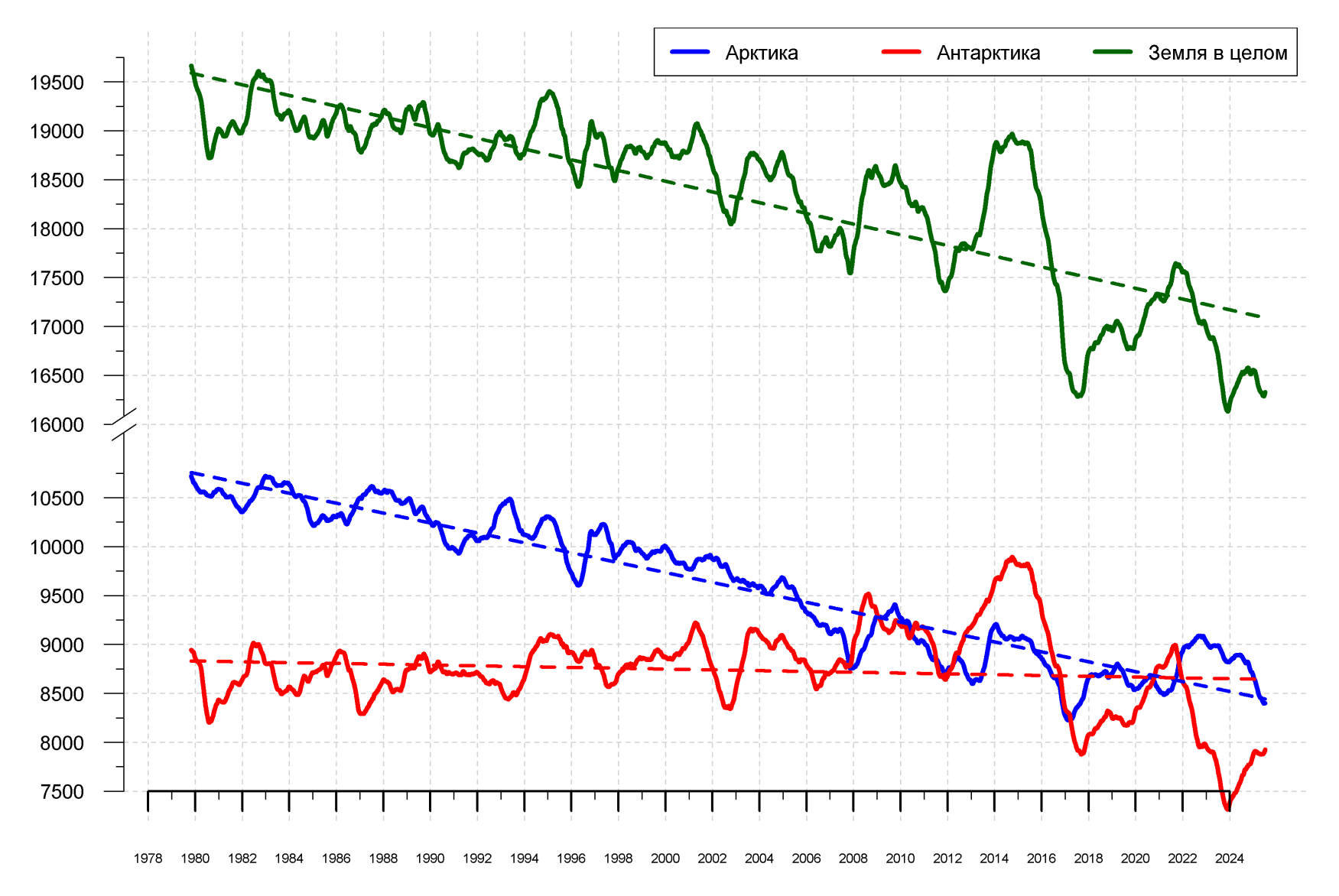


Рисунок 10 — Ежедневные сглаженные окном 365 суток значения приведенной ледовитости (площади морского льда) Арктики, Антарктики и Земли в целом с 25.10.1978 по последний доступный срок на основе SSMR-SSM/I-SSMIS [13-17]

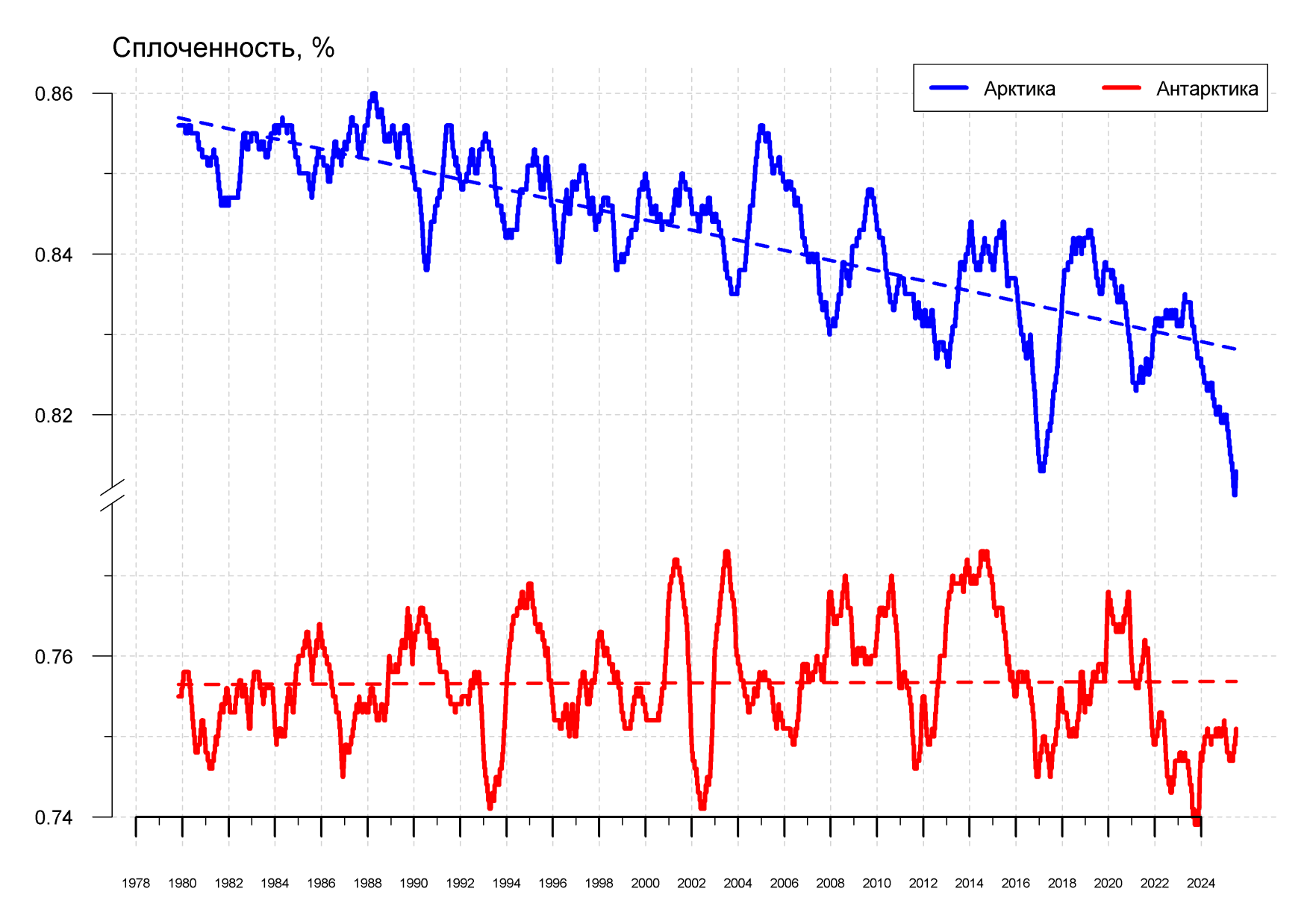


Рисунок 11 — Ежедневные сглаженные окном 365 суток значения средней общей сплоченности Арктики и Антарктики с 07.11.1978 по последний доступный срок на основе SSMR-SSM/I-SSMIS [13-17]

Приложение 1 — Статистические значения ледовитостей по отдельным акваториям Северной Полярной Области и Южного океана Таблица 8 — Средние, аномалии среднего и экстремальные значения ледовитостей для Северной и Южной полярных областей и её отдельных акваторий за текущие 7-дневный (неделя) и 30-дневный промежутки времени по данным наблюдений SSMR-SSM/I-SSMIS, алгоритм NASATEAM за период 1978-2024 гг. 17-23.11

	Ѕ, тыс.			Аномалии, тыс км2/%				1978-2025гг				
Регион	з, тыс. км2	2007 г	2012 г	2022 г	2023 г	2024 г	2015- 2025гг	1978- 2025гг	Минимум дата	Максимум дата	Среднее	Медиана
Сев. полярная		-922.6	-419.4	-903.6	-1012.3	-374.2	-514.5	-1430.0	8539.1	12351.7		
область	9323.1	-9.0	-4.3	-8.8	-9.8	-3.9	-5.2	-13.3	19.11.2016	23.11.1978	10753.1	10694.3
Сектор 45°W-	4070.0	-581.9	9.5	-356.7	-807.4	-206.1	-270.0	-793.6	1455.4	3509.0	0070.4	0700.0
95°E	1879.9	-23.6	0.5	-15.9	-30.0	-9.9	-12.6	-29.7	19.11.2016	23.11.1988	2673.4	2762.2
Гренландское	533.8	-110.5	-24.1	52.8	-128.0	71.1	32.5	-50.0	368.6	844.2	E02 0	574.1
море	555.6	-17.1	-4.3	11.0	-19.3	15.4	6.5	-8.6	17.11.2017	23.11.1988	583.8	5/4.1
Есроиново моро	18.0	-132.1	-17.2	-120.4	-279.8	-43.1	-114.9	-346.3	11.8	760.4	364.2	398.0
Баренцево море	10.0	-88.0	-48.9	-87.0	-94.0	-70.6	-86.5	-95.1	17.11.2012	23.11.1988	304.2	396.0
Карское море	428.2	-260.0	108.8	-209.6	-251.3	-237.2	-131.4	-282.1	131.4	839.2	710.3	752.2
Карское море	420.2	-37.8	34.1	-32.9	-37.0	-35.7	-23.5	-39.7	18.11.2016	17.11.1979	7 10.5	132.2
Сектор 95°Е-	3418.4	186.7	-31.2	40.0	73.7	27.3	102.2	17.6	3094.9	3632.9	3400.8	3411.3
170°W	3410.4	5.8	-0.9	1.2	2.2	0.8	3.1	0.5	20.11.2016	22.11.1994	3400.0	3411.3
Море Лаптевых	674.3	0.0	0.0	0.0	0.0	0.0	3.1	0.7	613.0	674.3	673.6	674.3
море лаптевых	074.5	0.0	0.0	0.0	0.0	0.0	0.5	0.1	21.11.2016	17.11.1979	073.0	074.0
Восточно-	915.1	17.3	0.0	0.0	0.0	0.0	2.7	1.8	866.1	915.1	7.11.1978	915.1
Сибирское море	913.1	1.9	0.0	0.0	0.0	0.0	0.3	0.2	18.11.2014	17.11.1978		915.1
Чукотское море	432.4	166.9	-152.4	144.9	103.3	-38.8	127.6	5.9	72.6	597.3	126.5	448.0
-тукотское море	402.4	62.9	-26.1	50.4	31.4	-8.2	41.9	1.4	17.11.2019	17.11.1981	420.5	440.0
Берингово море	51.2	-7.5	-108.0	10.1	21.7	5.0	4.2	-45.6	3.0	290.8	96.8	83.2
	01.2	-12.7	-67.8	24.6	73.3	10.9	9.0	-47.1	21.11.2018	21.11.1983	30.0	00.2
Сектор 170°W-	4024.9	-527.4	-397.7	-586.9	-278.6	-195.4	-346.7	-654.0	3847.7	5775.2	4678.8	4639.0
45°W	TOZ-1.0	-11.6	-9.0	-12.7	-6.5	-4.6	-7.9	-14.0	17.11.2019	23.11.1986	4070.0	4000.0
Море Бофорта	486.6	0.5	0.0	18.2	0.0	0.0	2.7	0.7	462.0	486.6	485.9	486.6
тиоре вофорта	400.0	0.1	0.0	3.9	0.0	0.0	0.5	0.1	19.11.2022	17.11.1978	+00.0	400.0
Гудзонов залив	14.5	-181.9	-81.2	-148.6	-44.1	-8.6	-131.6	-221.8	9.4	839.0	236.3	199.9
т удоснов залив	14.0	-92.6	-84.8	-91.1	-75.2	-37.2	-90.1	-93.9	21.11.2025	23.11.1986	230.3	100.0
Море Лабрадор	3.0	-2.9	1.3	2.1	0.9	-3.6	-0.8	-7.2	0.0	62.2	10.2	7.7
- Море Лаорадор	0.0	-49.2	70.4	232.8	41.1	-54.1	-20.1	-70.2	17.11.2015	23.11.1986	10.2	7.7
Дейвисов пролив	10.9	-139.6	-62.1	-237.6	-63.4	-9.5	-100.7	-150.3	5.4	366.0	161.3	156.2
	10.0	-92.7	-85.0	-95.6	-85.3	-46.6	-90.2	-93.2	21.11.2025	23.11.1983	101.0	100.2
Канадский	830.2	-186.7	-129.5	-154.6	-71.3	7.9	-104.8	-173.1	797.5	1190.1	1003.3	1006.7
архипелаг	000.2	-18.4	-13.5	-15.7	-7.9	1.0	-11.2	-17.3	17.11.2025	17.11.1986	1000.0	1000.7

24.10-23.11

	0	Аномалии, тыс км2/%							1978-2025гг				
Регион	S, тыс.	2007 -	2012 -				2015-	1978-	Минимум	Максимум	C===::==	Manualla	
	км2	2007 г	2012 г	2022 г	2023 г	2024 г	2025гг	2025гг	дата	дата	Среднее	Медиана	
Сев. полярная	8532.5	-608.3	-37.0	-787.9	-765.5	-78.0	-280.4	-1351.1	5838.7	12351.7	9874.8	9952.2	
область	0002.0	-6.7	-0.4	-8.5	-8.2	-0.9	-3.2	-13.7	24.10.2020	23.11.1978	9074.0	9932.2	
Сектор 45°W-	1586.2	-619.8	-89.4	-401.4	-763.8	-141.5	-320.5	-862.2	1219.0	3509.0	2445.5	2510.3	
95°E	1300.2	-28.1	-5.3	-20.2	-32.5	-8.2	-16.8	-35.2	24.10.2025	23.11.1988	2440.0	2310.3	
Гренландское	464.9	-104.5	-71.8	5.2	-111.1	16.4	6.3	-65.5	262.6	844.2	530.0	528.0	
море	404.5	-18.4	-13.4	1.1	-19.3	3.7	1.4	-12.4	24.10.2017	23.11.1988	330.0	320.0	
Баренцево море	16.2	-105.8	-1.8	-78.9	-151.9	-7.9	-65.2	-274.3	0.0	760.4	289.2	287.1	
варенцево море	10.2	-86.7	-9.8	-83.0	-90.4	-32.8	-80.1	-94.4	24.10.2025	23.11.1988	200.2	207.1	
Карское море	213.0	-315.9	-3.1	-245.5	-362.9	-235.2	-210.3	-410.0	10.6	839.2	621.9	670.0	
	213.0	-59.7	-1.4	-53.6	-63.0	-52.5	-49.7	-65.8	27.10.2025	24.10.1998	021.9	070.0	
Сектор 95°Е-	3309.5	385.0	0.1	91.6	60.1	-13.9	211.0	29.0	1193.6	3632.9	3279.8	3325.8	
170°W	5509.5	13.2	0.0	2.8	1.8	-0.4	6.8	0.9	24.10.2020	22.11.1994	3219.0	3323.0	
Море Лаптевых	636.8	-37.1	-33.0	-26.1	-37.3	-36.0	1.4	-27.4	59.0	674.3	664.1	674.3	
море лаптевых	030.0	-5.5	-4.9	-3.9	-5.5	-5.4	0.2	-4.1	24.10.2020	24.10.1979	004.1	074.0	
Восточно-	911.9	162.6	13.1	17.3	16.4	2.5	87.4	27.6	35.8	915.1	884.2	915.1	
Сибирское море	911.9	21.7	1.5	1.9	1.8	0.3	10.6	3.1	24.10.2020	24.10.1979			
Чукотское море	349.2	230.8	-38.6	187.8	138.1	22.7	154.4	26.5	4.3	597.3	321.8	323.1	
чукотское море	349.2	195.0	-10.0	116.4	65.5	7.0	79.3	8.2	24.10.2019	03.11.1983	321.0	323.1	
Берингово море	26.7	-8.2	-40.8	-2.0	3.5	0.3	-0.4	-30.3	1.8	290.8	56.9	41.0	
·	20.7	-23.5	-60.5	-7.0	15.0	1.0	-1.4	-53.2	28.10.2012	21.11.1983	30.9	41.0	
Сектор 170°W-	3636.8	-373.5	52.3	-478.2	-61.8	77.5	-170.9	-517.8	2485.8	5775.2	4149.4	4157.7	
45°W	3030.0	-9.3	1.5	-11.6	-1.7	2.2	-4.5	-12.5	24.10.2024	23.11.1986	4149.4	4137.7	
Море Бофорта	432.4	-41.7	121.9	-27.3	55.9	80.1	10.6	-25.3	72.8	486.6	457.5	486.6	
море вофорта	432.4	-8.8	39.3	-5.9	14.9	22.7	2.5	-5.5	25.10.2012	24.10.1984	457.5	400.0	
Гудзонов залив	16.8	-51.4	-28.0	-46.0	-12.4	-6.0	-41.8	-90.9	5.3	839.0	105.9	44.3	
т удзонов залив	10.0	-75.4	-62.5	-73.3	-42.6	-26.4	-71.4	-84.4	04.11.2021	23.11.1986	105.9	44.3	
Море Лабрадор	3.7	-3.7	2.1	1.9	2.4	1.0	1.3	-5.4	0.0	62.2	9.0 7.0	7.0	
море лаорадор	3.7	-50.4	135.8	102.5	190.8	38.5	54.6	-59.6	24.10.2011	23.11.1986		7.0	
Дейвисов пролив	9.6	-64.7	-18.1	-99.1	-17.8	-5.0	-44.1	-75.7	3.6	366.0	84.5	44.3	
— Демвисов про лив	9.0	-87.1	-65.3	-91.2	-65.0	-34.5	-82.1	-88.7	26.10.1991	23.11.1983	04.5	44.3	
Канадский	671.0	-243.1	-139.4	-211.2	-75.9	39.4	-140.4	-234.1	262.6	1190.1	904.0	918.4	
архипелаг	07 1.0	-26.6	-17.2	-23.9	-10.2	6.2	-17.3	-25.9	24.10.2024	17.11.1986	904.0	910.4	

17-23.11

	Аномалии, тыс км2/% 1978-2025гг)25гг				
Регион	S, тыс. км2	2007 г	2012 г	2022 г	2023 г	2024 г	2015-	1978-	Минимум	Максимум	Среднее	Медиана
							2025гг	2025гг	дата	дата		
Южный Океан	14128.6	-1185.4	-1663.8	-646.7	224.1	116.1	-380.0	-1180.0	13008.5	16766.7	15308.6	15432.4
10/KIIBI/I CIKCUII	20.0	-7.7	-10.5	-4.4	1.6	8.0	-2.6	-7.7	23.11.2016	17.11.2013	10000.0	10102.1
Атлантический	6383.5	-8.8	11.0	221.0	1164.7	494.4	293.9	51.9	5104.9	7309.3	6331.6	6368.8
сектор	0303.3	-0.1	0.2	3.6	22.3	8.4	4.8	0.8	23.11.2023	17.11.1988	0331.0	0300.0
Западная часть	2208.6	-82.8	-90.6	208.2	228.6	-56.8	117.6	89.0	1575.7	2647.6	2110.6	21111
моря Уэдделла	2208.6	-3.6	-3.9	10.4	11.5	-2.5	5.6	4.2	23.11.2001	23.11.1997	2119.6	2144.1
Восточная часть	4475.0	74.0	101.6	12.8	936.1	551.2	176.3	-37.0	3068.4	4917.7	4040.0	4040.7
моря Уэдделла	4175.0	1.8	2.5	0.3	28.9	15.2	4.4	-0.9	23.11.2017	20.11.2002	4212.0	4249.7
Индоокеанский	2360.7	-551.8	-996.2	-297.5	-585.0	-229.5	-469.3	-877.6	2123.6	4228.0	3238.4	2265.0
сектор	2300.7	-18.9	-29.7	-11.2	-19.9	-8.9	-16.6	-27.1	23.11.2016	17.11.1984	3230.4	3265.8
Море	705.8	-334.0	-318.6	-149.8	-406.0	197.0	-177.5	-326.0	452.8	1457.5	1031.8	1051.5
Космонавтов	705.6	-32.1	-31.1	-17.5	-36.5	38.7	-20.1	-31.6	23.11.2024	17.11.2010		
Море	556.5	-313.9	-708.5	-290.0	-206.3	-291.7	-270.1	-453.0	511.1	1525.6	1009.5	4040.0
Содружества	556.5	-36.1	-56.0	-34.3	-27.0	-34.4	-32.7	-44.9	23.11.2025	17.11.1984	1009.5	1013.3
Mana Mayaaya	1009.4	96.2	30.8	142.3	27.2	-134.8	-21.7	-98.6	876.9	1677.6	1107.0	1106.7
Море Моусона	1098.4	9.6	2.9	14.9	2.5	-10.9	-1.9	-8.2	23.11.1991	17.11.1983	1197.0	1186.7
Тихоокеанский	F204.2	-624.7	-678.5	-570.1	-355.6	-148.8	-204.7	-354.4	4867.9	6637.0	5700 C	EC07.0
сектор	5384.3	-10.4	-11.2	-9.6	-6.2	-2.7	-3.7	-6.2	23.11.2016	17.11.2013	5738.6	5697.2
Mono Dooss	4882.5	-463.9	-200.4	-627.3	185.7	299.8	14.2	-100.1	4093.8	5724.2	4092 E	4936.9
Mope Pocca	4002.3	-8.7	-3.9	-11.4	4.0	6.5	0.3	-2.0	23.11.1979	18.11.1998	4982.6 4936	4930.9
Море	501.0	-160.8	-478.1	57.2	-541.3	-448.5	-218.8	-254.2	388.1	1310.4	756 1	721.4
Беллинсгаузена	501.8	-24.3	-48.8	12.9	-51.9	-47.2	-30.4	-33.6	23.11.2022	19.11.1986	756.1	721.4

24.10-23.11

	_	Аномалии, тыс км2/% 1978-202)25гг			
Регион	S, тыс.				•		2015-	1978-	Минимум	Максимум		
	км2	2007 г	2012 г	2022 г	2023 г	2024 г	2025гг	2025гг	дата	дата	Среднее	Медиана
10 0	45400.4	-1369.8	-1651.6	-393.1	393.6	194.7	-428.5	-1125.2	13008.5	18654.8	40550.0	40075.0
Южный Океан	15433.1	-8.2	-9.7	-2.5	2.6	1.3	-2.7	-6.8	23.11.2016	24.10.2014	16559.2	16675.8
Атлантический	6804.8	37.8	164.7	490.3	1181.0	826.2	370.3	155.0	5104.9	8081.6	6651.3	6663.2
сектор	0004.0	0.6	2.5	7.8	21.0	13.8	5.8	2.3	23.11.2023	24.10.1980	0001.3	0003.2
Западная часть	2189.2	-121.9	-72.6	127.6	71.2	-125.0	41.3	14.0	1575.7	2707.7	2175.7	2191.2
моря Уэдделла	2109.2	-5.3	-3.2	6.2	3.4	-5.4	1.9	0.6	23.11.2001	03.11.1980	2175.7	2191.2
Восточная часть	4615.7	159.7	237.3	362.8	1109.8	951.3	329.0	141.1	3068.4	5423.6	4475.5	4509.0
моря Уэдделла	4015.7	3.6	5.4	8.5	31.7	26.0	7.7	3.2	23.11.2017	02.11.1988	4475.5	4509.0
Индоокеанский	2837.3	-741.9	-1323.7	-361.7	-635.1	-405.5	-645.2	-1011.8	2123.6	4989.5	3848.1	2000.7
сектор	2037.3	-20.7	-31.8	-11.3	-18.3	-12.5	-18.5	-26.3	23.11.2016	24.10.1993	3040.1	3909.7
Mope	790.9	-266.7	-391.9	-292.7	-335.3	117.3	-242.1	-352.3	452.8	1593.1	1143.6	1154.3
Космонавтов	790.9	-25.2	-33.1	-27.0	-29.8	17.4	-23.4	-30.8	23.11.2024	26.10.2010	1143.0	
Mope	677.5	-511.6	-770.8	-438.9	-397.7	-465.9	-432.6	-585.8	511.1	1709.2	1263.6	1200.6
Содружества	011.5	-43.0	-53.2	-39.3	-37.0	-40.7	-39.0	-46.4	23.11.2025	27.10.2018	1203.0	1299.6
Море Моусона	1368.8	36.4	-161.0	369.9	97.8	-56.9	29.5	-73.7	876.9	2207.4	1440.9	1442.2
іморе імоусона	1300.0	2.7	-10.5	37.0	7.7	-4.0	2.2	-5.1	23.11.1991	01.11.1978	1440.9	1442.2
Тихоокеанский	5791.0	-665.7	-492.6	-521.8	-152.3	-226.0	-153.6	-268.5	4867.9	7140.1	6059.8	6030.5
сектор	5/91.0	-10.3	-7.8	-8.3	-2.6	-3.8	-2.6	-4.4	23.11.2016	24.10.2009	0059.6	0030.3
Mono Pocco	5209.3	-552.3	-52.6	-574.9	352.2	258.0	66.0	-12.2	4093.8	6242.0	5222.6	5180.6
Mope Pocca	5209.5	-9.6	-1.0	-9.9	7.3	5.2	1.3	-0.2	23.11.1979	24.10.1999	5222.0 5160.0	3100.0
Море	581.7	-113.4	-440.0	53.1	-504.5	-484.1	-219.6	-256.3	388.1	1492.3	837.2	816.5
Беллинсгаузена	301.7	-16.3	-43.1	10.1	-46.4	-45.4	-27.4	-30.6	23.11.2022	27.10.1994	037.2	010.5

Таблица 10 — Динамика изменения значений ледовитости по сравнению с предыдущей неделей для морей Северной полярной области и Южного океана за текущий 7-дневный (неделя) промежуток времени по данным наблюдений SSMIS

-1	7	വാ	- 1	1
- 1	/ -	· / . \	- 1	

		17-23.1	1	
Регион	Сев. полярная область	Сектор 45°W-95°E	Гренландское море	Баренцево море
Разность	292.9	100.9	52.9	-17.0
тыс.кв.км/ сут.	41.8	14.4	7.6	-17.0 -2.4
		17-23.1	1	
Регион	Карское море	Сектор 95°E-170°W	Море Лаптевых	Восточно-Сибирское море
Разность	90.8	11.5	0.0	0.0
тыс.кв.км/ сут.	13.0	1.6	0.0	0.0
		17-23.1		
Регион	Чукотское море	Берингово море	Сектор 170°W-45°W	Море Бофорта
Разность	68.9	11.1	180.5	4.0
тыс.кв.км/ сут.	9.8	1.6	25.8	0.6
		17-23.1	1	
Регион	Гудзонов залив	Море Лабрадор	Дейвисов пролив	Канадский архипелаг
Разность	-7.1	-4.2	-1.9	72.4
тыс.кв.км/ сут.	-7.1 -1.0	-4.2 -0.6	-1.9 -0.3	10.3
		17-23.1	1	1
Регион	Южный Океан	Атлантический сектор	Западная часть моря Уэдделла	Восточная часть моря Уэдделла
Разность	-973.0	-275.2	44.8	-320.0
тыс.кв.км/ сут.	-139.0	-39.3	6.4	-45.7
, , , , , , , , , , , , , , , , , , ,		17-23.1	1	1
Регион	Индоокеанский сектор	Море Космонавтов	Море Содружества	Море Моусона
Разность	-320.4	-106.0	-77.4	-137.0
тыс.кв.км/ сут.	-45.8	-15.1	-77.4 -11.1	-19.6
<u>, , , , , , , , , , , , , , , , , , , </u>		17-23.1	1	ı
Регион	Тихоокеанский сектор	Mope Pocca	Море Беллинсгаузена	
Разность	-377.3	-281.1	-96.2	
тыс.кв.км/	-53.9	-40.2	-13.7	

Характеристика исходного материала и методика расчетов

Для иллюстрации ледовых условий Арктического региона представлены совмещенные региональные карты ААНИИ [4, 6], Канадской ледовой службы – КЛС [12], Национального ледового центра США – НЛЦ [10], Ледовой службы отделения Аляска НОАА [23] и НИЦ Планета [9]. Совмещение карт выполнено путем перекрытия слоев отдельных ледовых служб в зависимости от времени ледового анализа. Карты ААНИИ характеризуют ледовые условия морей Гренландского...Бофорта, карты НИЦ Планета – Азовского, Каспийского, Берингова, Охотского, Японского, карты НЛЦ – Северных частей Тихого и Атлантического океанов и Арктического бассейна, вод Гренландии, Ледовой службы отделения Аляска НОАА – Берингово, Чукотское моря, КЛС - морей Бофорта, Канадского архипелага, Баффина, Девисова пролива, Лабрадор, Св. Лаврентия. Для ледовых условий и распределения айсбергов Южного океана использованы данные проекта по интегрированному ледовому анализу Южного океана – циркумполярные карты ААНИИ [5, 7], НЛЦ [10, 11] и карты акватории Антарктического полуострова Норвежского метеорологического института (НМИ) [21]. Для построения совмещенных карт используется архив данных в обменном формате ВМО СИГРИД-3 [18] Мирового центра данных по морскому льду (МЦД МЛ) – проекта ВМО «Глобальный Банк Цифровых Данных по Морскому Льду». В пределах отдельного срока выборка карт из архива проводится по критериям близости карт к сроку выпуска карты ААНИИ с максимальным интервалом времени между картами до 7 суток (день недели выпуска карт ААНИИ – вторник, Ледовой службы отделения Аляска НОАА – ежедневно, НИЦ Планета – понедельник-четверг, КЛС – понедельник, НЛЦ – четверг/пятница для морского льда и четверг/пятница – для крупных айсбергов Южного океана, НМИ понедельник).

Для иллюстрации полей толщин льда СЛО использованы ежедневные данные по распределению средневзвешенной толщины льда численной модели HYCOM-CICE Датского метеорологического института (ДМИ) [20]. Численная модель HYCOM-CICE имеет разрешение 10х10 км и является совместной моделью морского льда — океана. Портал полярных данных ДМИ [22] используется также как источник данных по оценке объема льда СЛО, температуры поверхности океана/морского льда, аномалий температуры воздуха и поля приземного ветра.

Для иллюстрации ледовых условий Северной Полярной области и Южного океана за последние сутки используются ежедневные циркумполярные ледовые информационные продукты НЛЦ США по оценке расположения кромки льда и ледяных массивов - MIZ (Marginal Ice Zone).

Для цветовой окраски карт использован стандарт ВМО (WMO/Td. 1215) [19] для зимнего (по возрасту) и летнего (по общей сплоченности) периодов. Следует также отметить, что в зонах стыковки карт ААНИИ, Ледовой службы отделения Аляска НОАА, КЛС и НЛЦ наблюдается определенная несогласованность границ и характеристик ледовых зон вследствие ряда различий в ледовых информационных системах подготавливающих служб. Однако, данная несогласованность несущественна для целей интерпретации ледовых условий в рамках настоящего обзора.

Для оценки распределения толщин льда в морях СМП использованы совмещенные недельные данные дистанционного зондирования ИСЗ Cryosat-2 и Sentinel-3A,В (радиолокационная альтиметрия) и SMOS (пассивное микроволновое зондирование), подготавливаемые Институтом полярных исследований им. А.Вегенера (AWI) [24].

Для получения оценок ледовитости (extent) и приведенной ледовитости – площади льда (area) отдельных секторов, морей, частей морей Северной полярной области и Южного океана и климатического положения кромок заданной повторяемости на основе данных спутниковых систем пассивного микроволнового зондирования SSMR-SSM/I-SSMIS [17] в МЦД МЛ ААНИИ принята следующая технология расчетов:

 источник данных – архивные (Cavalieri et al., 2008, Meier et al., 2006) и квазиоперативные (Maslanik and Stroeve, 1999) с задержкой 1-2 дня ежедневные матрицы (поля распределения) оценок общей сплоченности Северной (севернее 45° с.ш.) и Южной (южнее 50° с.ш.) Полярных областей на основе обработанных по алгоритму NASATEAM данных многоканальных микроволновых радиометров SSMR-SSM/I-SSMIS ИСЗ NIMBUS-7 и DMSP за период с 26.10.1978 г. по настоящий момент времени [13, 14, 15], копируемые с сервера НЦДСЛ;

- область расчета— Северная и Южная Полярные области и их регионы с использованием масок океан/суша НЦДСЛ (http://nsidc.org/data/polar_stereo/tools_masks.html);
- границы используемых масок расчета отдельных меридиональных секторов, морей, частей морей Северной полярной области и Южного океана представлены на рисунках П1 П6 в полярной равноплощадной проекции Ламберта [26], не совпадают с используемыми в НЦДСЛ масками для отдельных акваторий Мирового океана и основаны на цифровой основе Международной гидрографической организации [25], повторяющей по номенклатуре, но не совпадающей по границам (вследствие отсутствия цифроосновы) публикациям «Атлас Северного ледовитого океана (1980)» и «Атлас океанов» [1, 2, 3].
- вычислительные особенности расчета авторское программное обеспечение ААНИИ с сохранением точности расчетов и оценке статистических параметров по гистограмме распределения и свободно-распространяемое программное обеспечение GDAL для векторизации полей климатических параметров;

В графическом формате PNG совмещенные карты ААНИИ-КЛС-НЛЦ Ледовой службы отделения Аляска HOAA доступны по адресу http://wdc.aari.ru/datasets/d0040.

Результаты расчетов ледовитости Северной, Южной полярных областей, их отдельных меридиональных секторов, морей и частей морей доступны на сервере МЦД МЛ ААНИИ в каталогах соответственно http://wdc.aari.ru/datasets/ssmi/data/north/extent/ и http://wdc.aari.ru/datasets/ssmi/data/south/extent/.

Оценки толщины льда основаны на совмещенных альтиметрических и пассивных микроволновых данных ИСЗ CryoSAT-2, SMOS и Sentinel-3 [27], описание алгоритма обработки приведено в [28].

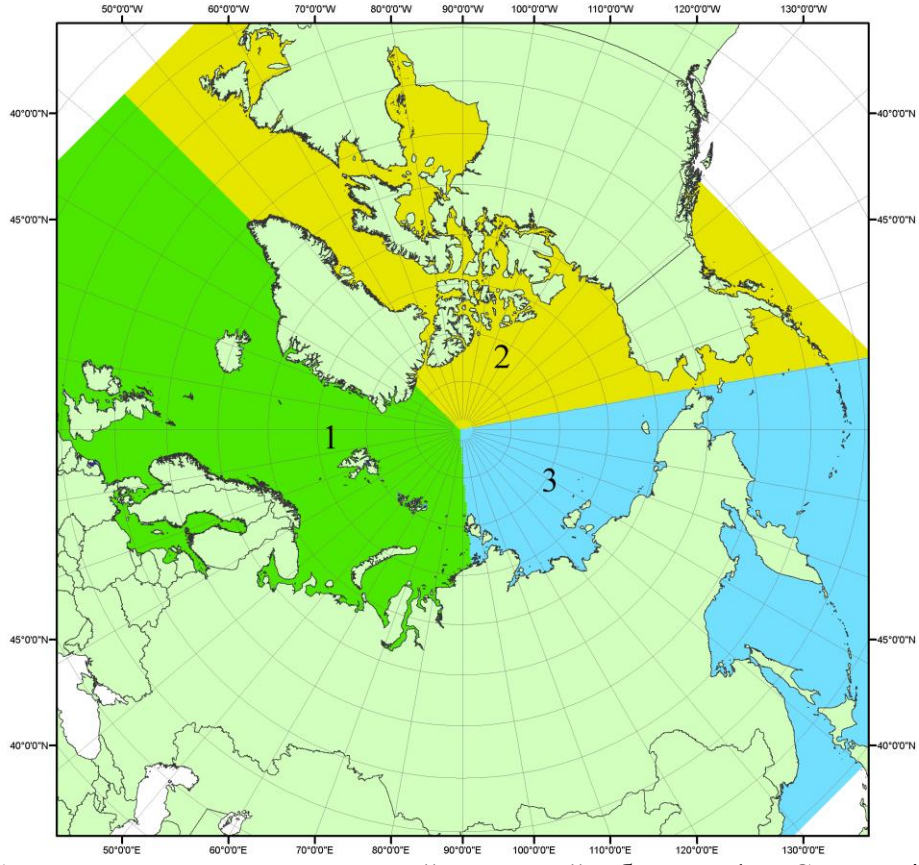


Рисунок П1 — Секторальное деление северной полярной области. 1 - Сектор 45° W- 95° E (Гренландское - Карское моря); 2 - Сектор 170° W- 45° W (море Бофорта и Канадская Арктика); 3 - Сектор 95° E- 170° W (моря Лаптевых - Чукотское, Берингово, Охотское, Японское)

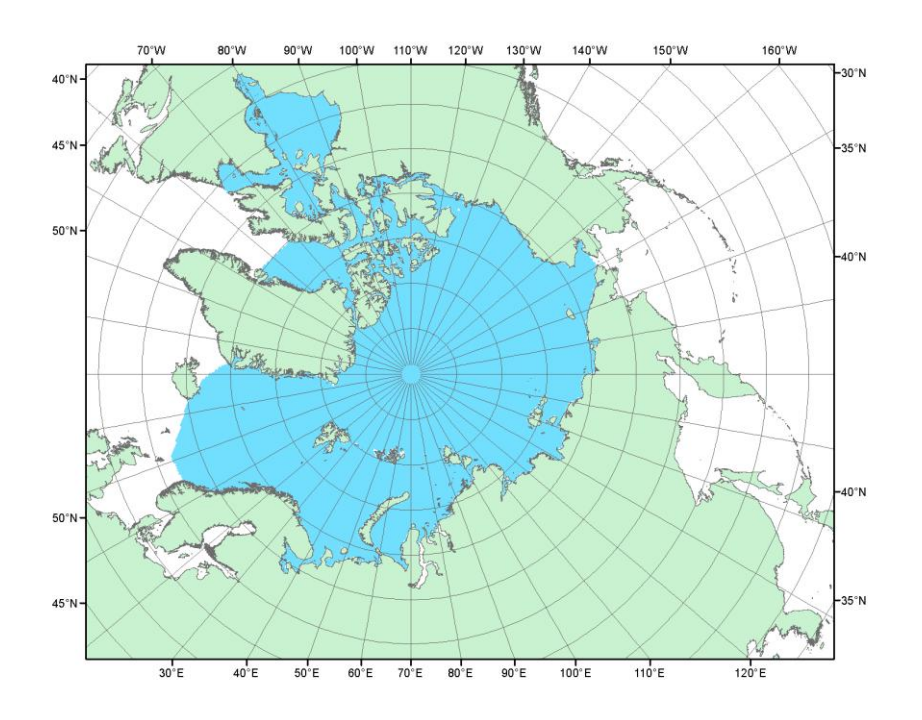


Рисунок П2 – Северный ледовитый океан в официальных границах

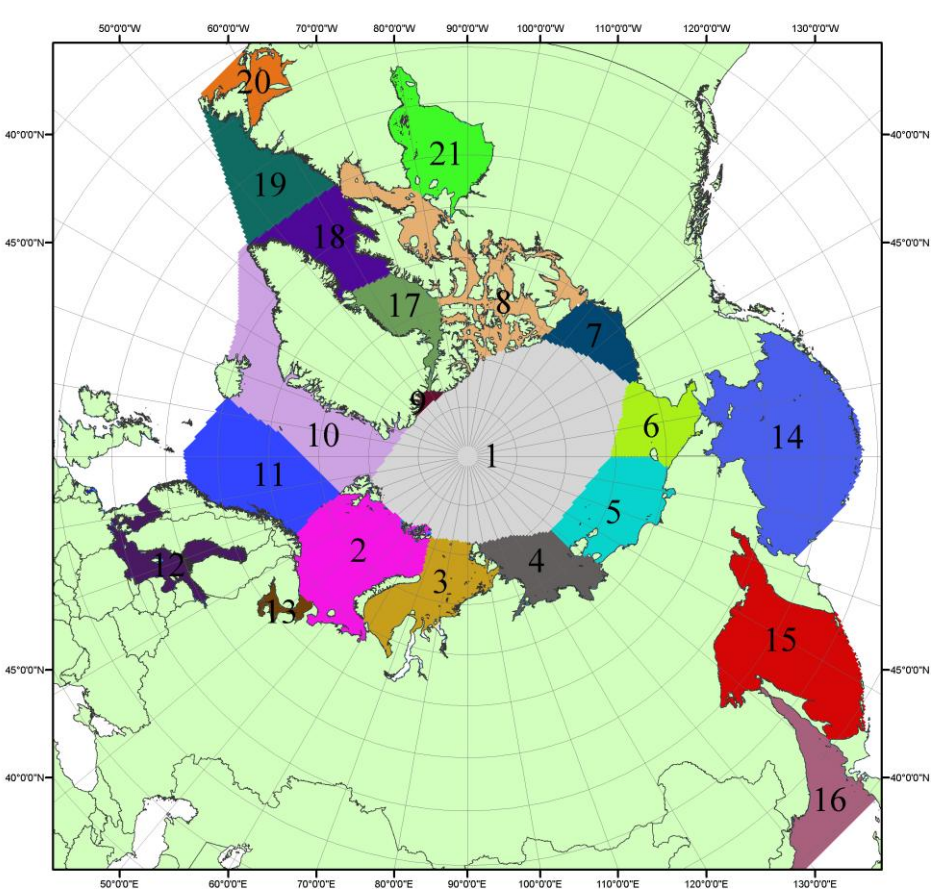


Рисунок ПЗ — Моря северной полярной области. 1 — Арктический бассейн; 2- Баренцево море; 3 — Карское море; 4 — море Лаптевых; 5 - Восточно-Сибирское море; 6 — Чукотское море; 7 — море Бофорта; 8 — Канадский архипелаг; 9 — море Линкольна; 10 — Гренландское море; 11 — Норвежское море; 12 — Балтийское море; 13 — Белое море; 14 — Берингово море; 15 — Охотское море; 16 — Японское море; 17 — море Баффина; 18 — Дейвисов пролив; 19 — море Лабрадор; 20 — залив Святого Лаврентия; 21 — Гудзонов залив.

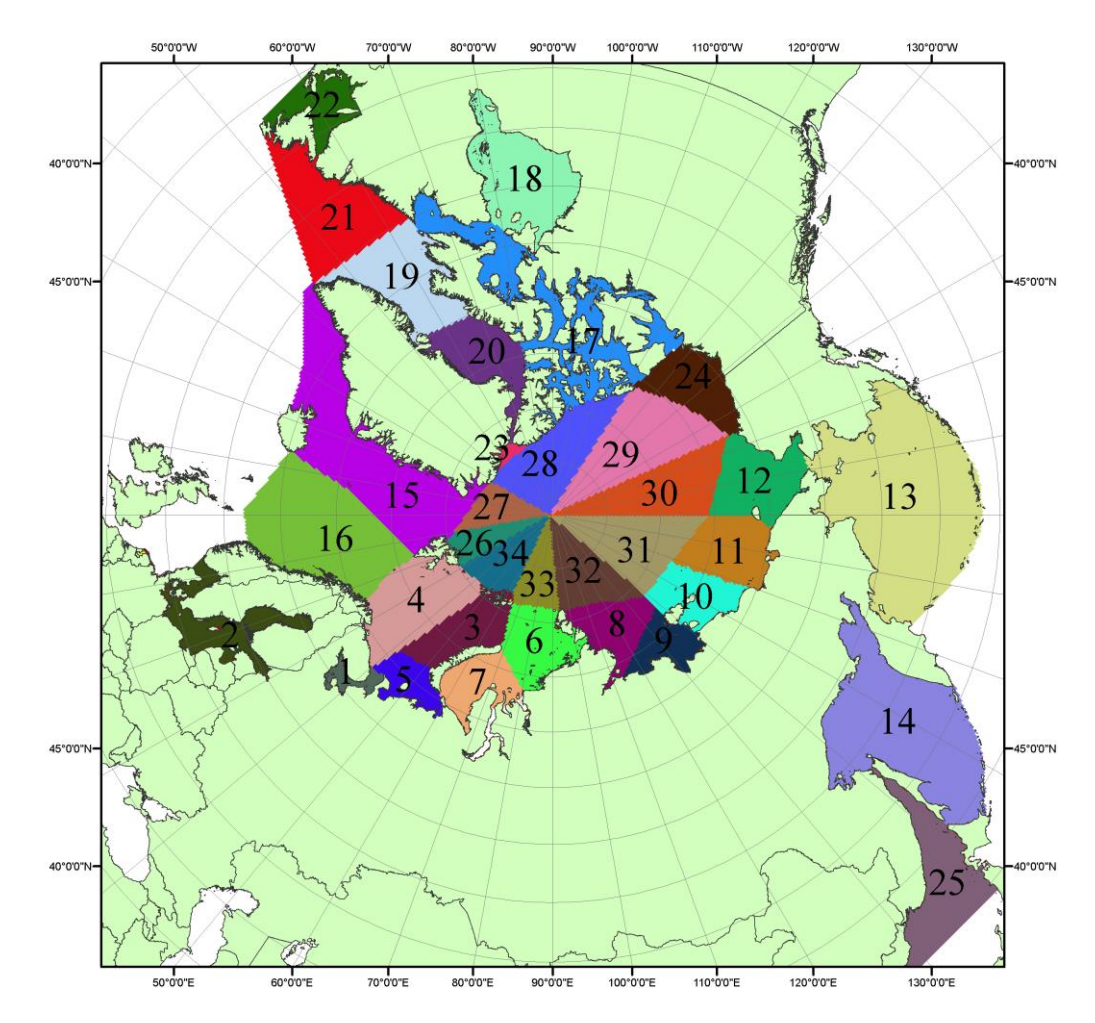


Рисунок П4 — Сектора и моря северной полярной области. 1 - Белое море; 2- Балтийское море; 3 — Баренцево море (СВ); 4 — Баренцево море (3); 5 - Баренцево море (ЮВ); 6 — Карское море (СВ); 7 — Карское море (ЮЗ); 8 — море Лаптевых (В); 9 — море Лаптевых (З); 10 — Восточно-Сибирское море (З); 11 — Восточно-Сибирское море (В); 12 — Чукотское море; 13 — Берингово море; 14 — Охотское море; 15 — Гренландское море; 16 — Норвежское море; 17 — Канадский архипелаг; 18 — Гудзонов залив; 19 — Дейвисов пролив; 20 - море Баффина; 21 — море Лабрадор; 22 - залив Святого Лаврентия; 23 - море Линкольна; 24 - море Бофорта; 25 - Японское море; 26 - сектор АО (30°з.д. — 10°в.д.); 27 — сектор АО (10°в.д. — 30°в.д.); 28 - сектор АО (30°в.д. — 65°в.д.); 29 - сектор АО (65°в.д. — 96°в.д.); 30 - сектор АО (96°в.д. — 140°в.д.); 31 - сектор АО (140°в.д. — 180°в.д.); 32 - сектор АО (180°в.д. — 156°з.д.); 33 - сектор АО (156°з.д. — 123°з.д.); 34 - сектор АО (123°з.д. — 30°з.д.).

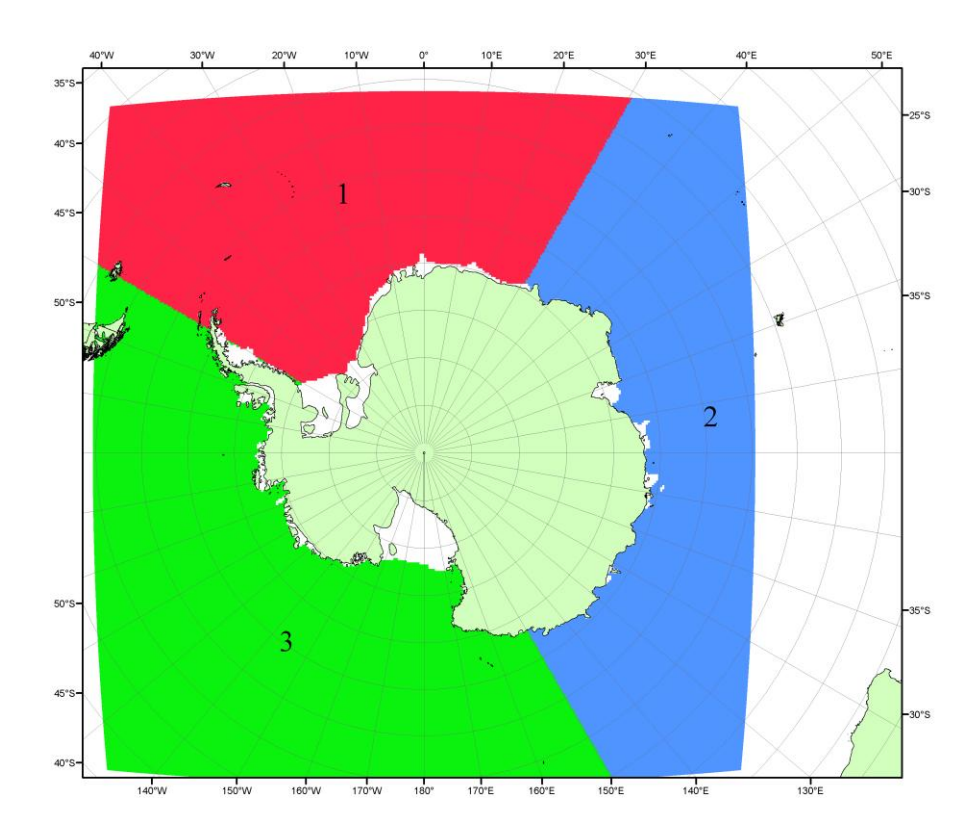


Рисунок П5 — Секторальное деление Южного океана. 1 - Атлантический сектор (60° W- 30° E, море Уэдделла); 2 - Индоокеанский сектор (30° E- 150° E, моря Космонавтов, Содружества, Моусона); 3 - Тихоокеанский сектор (150° E- 60° W, моря Росса, Беллинсгаузена)

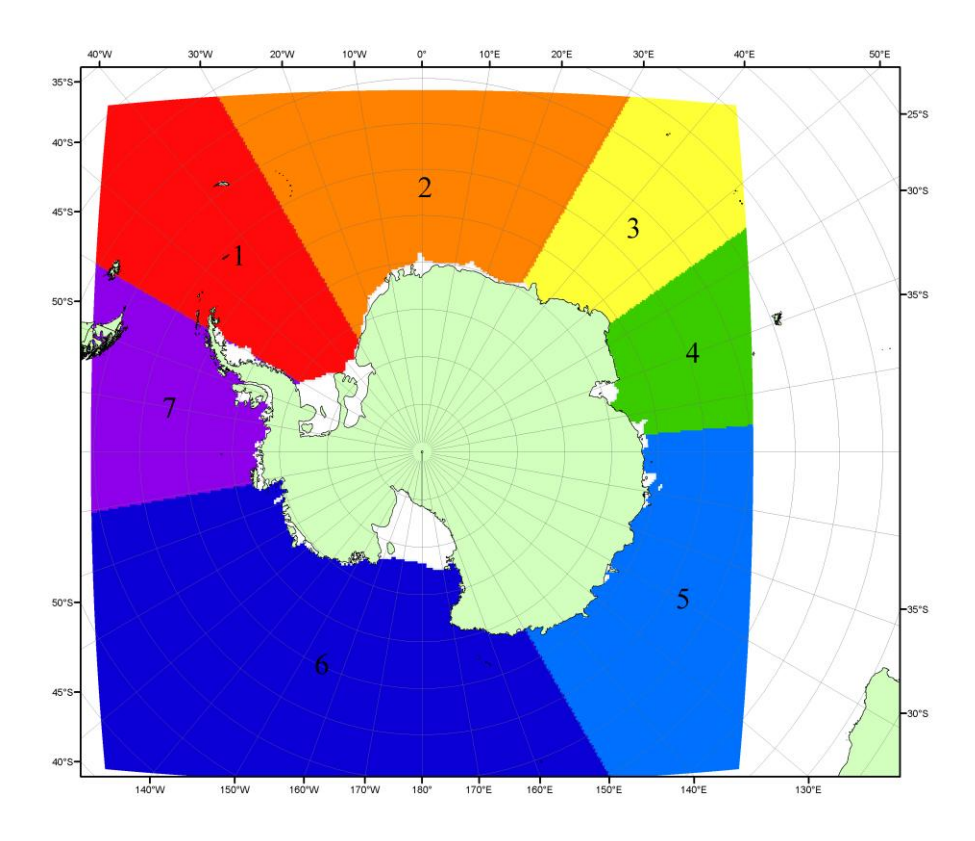


Рисунок Пб — Моря Южного океана. 1 — Западная часть моря Уэдделла; 2- Восточная часть моря Уэдделла; 3 — Море Космонавтов; 4 — море Содружества; 5 — море Моусона; 6 — море Росса; 7 — Море Беллинсгаузена.

Список источников

- 1. Атлас океанов. Северный Ледовитый океан. 1980. М: Изд. ГУНИО МО СССР ВМФ 184 с.
 - 2. Атлас океанов. Термины. Понятия. Справочные таблицы. Изд. ВМФ МО СССР.-1980.
 - 3. Границы океанов и морей. 1960. Л.: Изд. ГУНИО ВМФ. 51 с.
- 4. Обзорные ледовые карты ФГБУ «ААНИИ» Северного Ледовитого океана за 2008 настоящий момент времени в обменном формате ВМО СИГРИД-3 // Мировой центр данных по морскому льду Глобальный банк данных по морскому льду http://wdc.aari.ru/datasets/d0015.
- 5. Комплексные ледовые карты ФГБУ «ААНИИ» Южного океана за 2014 год настоящий момент времени в обменном формате ВМО СИГРИД-3 // Мировой центр данных по морскому льду Глобальный банк данных по морскому льду http://wdc.aari.ru/datasets/d0015.
- 6. Комплексные ледовые карты ФГБУ «ААНИИ» арктических и замерзающих морей России за 1997 2021 гг. в обменном формате ВМО СИГРИД-3 // Мировой центр данных по морскому льду Глобальный банк данных по морскому льду http://wdc.aari.ru/datasets/d0004.
- 7. Карты ФГБУ «ААНИИ» анализа крупных айсбергов Южного океана за 2014-2020 гг. в обменном формате ВМО СИГРИД-3 // Мировой центр данных по морскому льду Глобальный банк данных по морскому льду http://wdc.aari.ru/datasets/d0015.
- 8. Комплексные ледовые карты ФГБУ «Гидрометцентр России» Азовского, Каспийского и Белого морей за 2000-2019 гг. в обменном формате ВМО СИГРИД-3 // Мировой центр данных по морскому льду Глобальный банк данных по морскому льду http://wdc.aari.ru/datasets/d0033.
- 9. Комплексные ледовые карты ФГБУ «НИЦ Планета» Азовского, Каспийского, Берингова, Охотского и Японского морей за 2016 год настоящий момент времени в обменном формате ВМО СИГРИД-3 // Мировой центр данных по морскому льду Глобальный банк данных по морскому льду http://wdc.aari.ru/datasets/d0034.
- 10. Комплексные ледовые карты Северной полярной области и Южного океана Национального ледового центра США за 2003 год настоящий момент времени в обменном формате ВМО СИГРИД-3 // Мировой центр данных по морскому льду Глобальный банк данных по морскому льду http://wdc.aari.ru/datasets/d0032.
- 11. Карты анализа крупных айсбергов Южного океана Национального ледового центра США за 2014 год настоящий момент времени в обменном формате ВМО СИГРИД-3 // Мировой центр данных по морскому льду Глобальный банк данных по морскому льду http://wdc.aari.ru/datasets/d0032.
- 12. Комплексные ледовые карты Канадской Арктики Канадской ледовой службы за 2006 настоящий момент времени в обменном формате ВМО СИГРИД-3 // Мировой центр данных по морскому льду Глобальный банк данных по морскому льду http://wdc.aari.ru/datasets/d0031.
- 13. Cavalieri, D., C. Parkinson, P. Gloersen, and H. J. Zwally. 1996, updated 2008. *Sea Ice Concentrations from Nimbus-7 SMMR and DMSP SSM/I Passive Microwave Data*, [1978.10.26 2007.12.31]. Boulder, Colorado USA: National Snow and Ice Data Center. Digital media.
- 14. Meier, W., F. Fetterer, K. Knowles, M. Savoie, M. J. Brodzik. 2006, updated quarterly. *Sea Ice Concentrations from Nimbus-7 SMMR and DMSP SSM/I Passive Microwave Data*, [2008.01.01 2008.03.25]. Boulder, Colorado USA: National Snow and Ice Data Center. Digital media.
- 15. Maslanik, J., and J. Stroeve. 1999, updated daily. *Near-Real-Time DMSP SSM/I-SSMIS Daily Polar Gridded Sea Ice Concentrations*, [2008.03.26 present moment]. Boulder, Colorado USA: National Snow and Ice Data Center. Digital media.
- 16. Andersen, S., R. Tonboe, L. Kaleschke, G. Heygster, and L. T. Pedersen, Intercomparison of passive microwave sea ice concentration retrievals over the high-concentration Arctic sea ice.// J. Geophys. Res. 2007. Vol. 112. C08004, doi:10.1029/2006JC003543.
- 17. Статистические характеристики сплоченности морского льда Северной полярной области и Южного океана на основе данных наблюдений SSMR-SSM/I-SSMIS, алгоритм NASATEAM // Мировой центр данных по морскому льду Глобальный банк данных по

морскому льду – http://wdc.aari.ru/datasets/ssmi.

- 18. SIGRID-3: A vector archive format for Sea Ice Georeferenced Information and Data JCOMM Technical Report Series No. 23, 2014, WMO/TD-No.1214.
- 19. Ice Chart Colour Code Standard. JCOMM Technical Report Series No. 24, 2004, WMO/TD-No.1215.

(http://jcomm.info/index.php?option=com_oe&task=viewDocumentRecord&docID=4914)

- 20. Danish Meteorological Institute North Atlantic Arctic Ocean model HYCOM-CICE http://ocean.dmi.dk/models/hycom.uk.php
- 21. Портал данных ледового анализа Южного океана Норвежского метеорологического института http://polarview.met.no/Antarctic.html
 - 22. Портал полярных данных Датского метеорологического института http://polarportal.dk
- 23. Комплексные ледовые карты Берингова и чукотского морей Ледовой службы отделения НОАА Аляска в обменном формате ВМО СИГРИД-3 // https://www.weather.gov/.
- 24. AWI CryoSat-SMOS Merged Sea Ice Thickness https://spaces.awi.de/display/CS2SMOS/CryoSat-SMOS+Merged+Sea+Ice+Thickness
- 25. Flanders Marine Institute (2018). IHO Sea Areas, version 3. Available online at URL: http://www.marineregions.org/ (дата обращения 08.04.2023).
- 26. Полярная равноплощадная проекция Ламберта. URL: https://epsg.io/3576 (дата обращения 07.04.2023).
- 27. ESA project SMOS & CryoSat-2 Sea Ice Data Product Processing and Dissemination Service and data from 2010 to 2024, obtained from https://www.meereisportal.de (grant: REKLIM-2013-04)/Ricker, R., Hendricks, S., Kaleschke, L., Tian-Kunze, X., King, J., and Haas, C.:
- 28. A weekly Arctic sea-ice thickness data record from merged CryoSat-2 and SMOS satellite data, The Cryosphere, 11, 1607-1623, https://doi.org/10.5194/tc-11-1607-2017, 2017.
- 29. Kimura, N., M. Oyama, T. Sugimura, 2022, Daily Polar Gridded Sea Ice Age, Version 1, 1.00, Arctic Data archive System (ADS), Japan, https://ads.nipr.ac.jp/dataset/A20220527-001